



**FUNDAÇÃO UNIVERSIDADE FEDERAL DE MATO GROSSO DO SUL**  
**CENTRO DE CIÊNCIAS BIOLÓGICAS E DA SAÚDE**  
**PROGRAMA DE PÓS-GRADUAÇÃO EM BIOLOGIA ANIMAL**

***Hepatozoon caimani: caracterização morfológica e molecular***

Priscilla Soares dos Santos

Dissertação apresentada à  
Fundação Universidade Federal  
de Mato Grosso do Sul, como  
requisito à obtenção do título de  
Mestre em Biologia Animal.  
Área de concentração: Zoologia.

Orientador: Dr. Fernando Paiva

Campo Grande, MS

Março, 2014

**RESOLUÇÃO Nº 15, DE 21 DE MARÇO DE 2014.**

**O COLEGIADO DE CURSO DO PROGRAMA DE PÓS-GRADUAÇÃO EM BIOLOGIA ANIMAL, do Centro de Ciências Biológicas e da Saúde da Fundação Universidade Federal de Mato Grosso do Sul, no uso de suas atribuições, resolve:**

**Aprovar a composição da “Banca Examinadora de Dissertação” de Priscilla Soares dos Santos, intitulada “*Hepatozoon caimani*: caracterização morfológica e molecular”, sob a orientação do Prof. Dr. Fernando Paiva, conforme segue:**

**Dr. Carlos Eurico dos Santos Fernandes (UFMS - Presidente)  
Dr. Erney Camargo Plesmann (USP)  
Dr. Lucio André Viana (UFMS)  
Dr. Ricardo Lourenço de Oliveira (IOC/ Fiocruz)  
Dra. Vanda Lúcia Ferreira (UFMS)**

**Vanda Lúcia Ferreira,  
Presidente.**

***Hepatozoon caimani: caracterização morfológica e molecular***

Priscilla Soares dos Santos

Dissertação apresentada à  
Fundação Universidade Federal  
de Mato Grosso do Sul, como  
requisito à obtenção do título de  
Mestre em Biologia Animal.  
Área de concentração: Zoologia.

Orientador: Dr. Fernando Paiva

Campo Grande, MS

Março, 2014

## **AGRADECIMENTOS**

*À Coordenação de Aperfeiçoamento de Pessoal de Nível Superior (CAPES).*

*Ao Programa de Pós-Graduação em Biologia Animal.*

*Ao meu orientador, Prof. Fernando Paiva, pelo tempo, incentivo, disposição nas coletas dos jacarés, ajuda em laboratório e imensa paciência a mim dedicados. Sou muito grata a tudo que me ensinou, desde os primeiros passos quando iniciei os estudos na graduação até o mestrado, foram seis anos de grande aprendizado.*

*Minha sincera gratidão aos professores Luiz Eduardo R. Tavares e Vanda Lúcia Ferreira, por serem prestativos nos momentos em que precisei. Aos professores Carlos Eurico Fernandes, Maria Auxiliadora Abdul (Dorinha), pela ajuda em análises histológicas.*

*Ao pessoal do Lab. de Parasitologia Veterinária: Fernando Rodrigues e Francielle pelo auxílio em bio mol, Lucas por correções no texto, Augusto pela ajuda em estatística, Eurico Sczesny e Kelly pela ajuda em campo. Ao Lúcio Viana pela ajuda na compreensão de algumas questões apiCOMPLEXAS e outras triviais sobre o projeto.*

*À Larissa Olarte e Andreza Souza pela ajuda em laboratório e campo.*

*Ao biólogo Fábio Ricardo da Rosa pela ajuda nas análises dos dados e ilustração do ciclo de Hepatozoon caimani.*

*Aos amigos do PPGBA Alessandher Piva, João Pedro Athayde e Inara Keiko, pelas conversas e alegrias infinitas.*

*Aos meus pais, Pedro e Dalila que me deram a vida e o ensinamento de vivê-la com dignidade, que iluminaram meus caminhos com afeto e dedicação para que pudesse trilhar sem medo. Que se doaram inteiros e renunciaram aos seus sonhos, para que, muitas vezes, pudesse realizar os meus. Cada um de seus atos foi uma oportunidade que eu tive para crescer e me tornar o que sou.*

*Muito obrigada!*

*[...] you might be a big fish in a little pond, doesn't mean you've won 'cause  
along may come a bigger one [...]” – Coldplay (Lost)*

## **Resumo**

No século passado, as primeiras descrições de *Hepatozoon caimani* em populações de jacarés no Brasil correspondiam a observações morfológicas de gametócitos em sangue periférico. No Pantanal sul-mato-grossense, alguns trabalhos foram realizados para ampliar o conhecimento do ciclo de vida de *H. caimani* em populações naturais do jacaré-do-pantanal, *Caiman yacare*. Diferenças no hábito alimentar e exposição a vetores entre jacarés jovens foram consideradas como um fator médio de risco a infecções por *H. caimani* no Brasil central. A ocorrência de anuros e peixes na dieta de jacarés em ambiente silvestre, associada à susceptibilidade dos animais simpátricos, é registrada por alguns autores como uma das vias naturais de transmissão de *H. caimani*. Atualmente existem muitas hipóteses de relações filogenéticas entre taxa do sub-filo Apicomplexa, baseadas nas análises de sequencias de rDNA 18S. Entretanto, isso foi realizado somente para algumas espécies do gênero *Hepatozoon*. A ausência de estudos referentes ao sequenciamento de nucleotídeos de *H. caimani* para comparação genotípica com as demais espécies e a semelhança morfológica de outros gêneros de hemogregarinas ocasionam algumas imprecisões taxonômicas para a espécie. Embora os resultados anteriores sobre os ciclos de vida tenham contribuído para elucidar sua biologia, de modo geral, o emprego de estudos baseados em ferramentas moleculares se tornam fundamentais para aprimorar a descrição e caracterização de *H. caimani* nas populações de jacarés.

**Palavras-chave:** Apicomplexa, hemogregarinas, jacaré-do-pantanal

## **Abstract**

In the last century, the first descriptions of *Hepatozoon caimani* in caiman's populations in the Brazil corresponded to morphological observations of gametocytes in peripheral blood. In the region of Pantanal in Mato Grosso do Sul State, some works have been performed to increase knowledge about the life cycle of *H. caimani* in wild population of jacaré-do-pantanal, *C. yacare*. Differences in the feeding habit and exposition to vectors between young caimans were considered as one average factor of risk to infections with *H. caimani* in the Central Brazil. The occurrence of anurans and fishes in the diet of caiman in wild environment, associated to susceptibility of sympatric animals is recorded for some authors as one natural mode of transmission of *H. caimani*. Currently there are many hypotheses of phylogenetic relationships between taxa of the Apicomplexa subphylum, based on analyses to sequences of 18S rDNA, however, this was only for some species of genus *Hepatozoon*. Absence of studies relating to the sequencing of nucleotides of *H. caimani* for comparison genotypic with other species associated to morphological similarity of others genus of hemogregarines causes some imprecisions taxonomic to specie. While previous results about cycles of life have contributed to explain your biology, altogether, studies based on molecular tools become essential to enhance the description and characterization of *H. caimani* in caiman population.

**Keywords:** Apicomplexa, hemogregarines, jacaré-do-Pantanal

## INTRODUÇÃO GERAL

Os Crocodylia modernos diferem pouco entre si ou das formas do Mesozoico, a maior variação inter-específica observada diz respeito ao formato da cabeça. Atualmente, apenas 21 espécies sobrevivem, a maioria é encontrada em regiões tropicais e sub-tropicais, mas três espécies apresentam distribuição que se estende pela zona temperada. Essas espécies são divididas em três famílias, Alligatoridae (*Alligator*, *Caiman*, *Melanosuchus* e *Paleosuchus*), Crocodylidae (*Crocodylus*, *Osteolaerus* e *Tomistoma*) e Gavialidae (*Gavialis*) (Pough *et al.*, 2003). Entretanto, para Ross *et al.* (2007), a posição filogenética, com base em dados morfológicos é incerta, pois colocam a família Gavialidae como grupo ancestral dos crocodilianos, os resultados apresentados por filogenia molecular incluem em Crocodylidae.

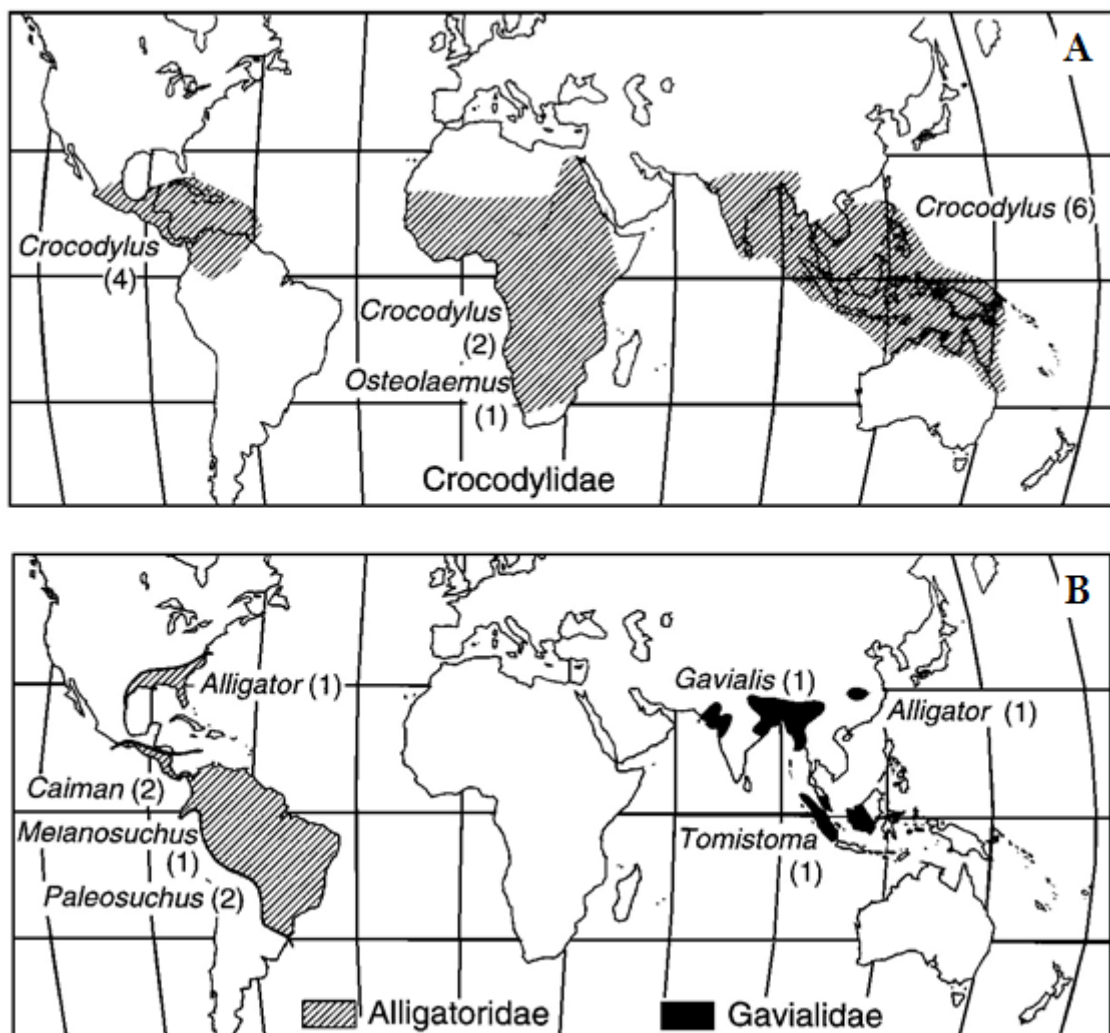
Crocodylidae apresenta um número maior de espécies, possuem uma ampla distribuição na África, América Central, Ásia e Austrália. Apesar dessa abrangência, a região neotropical apresenta uma diversidade maior de gêneros de crocodilianos, quando comparada com África, Ásia e Austrália (Molnar, 1993), sendo 10 espécies distribuídas em quatro gênero, *Caiman crocodilus* Linnaeus, 1756, *C. latirostris* Daudin, 1801, *C. yacare* Daudin, 1801, *Melanosuchus niger* Spix, 1825, *Paleosuchus palpebrosus* Cuvier, 1807, *P. trigonatus* Schneider, 1801, *Crocodylus acutus* Cuvier, 1807, *C. intermedius* Graves, 1819, *C. moreletii* Dumeril e Bibron, 1851, *C. rhombifer* Cuvier, 1807 (**Figura 1**).

No Brasil, ocorrem seis espécies pertencentes à Alligatoridae, popularmente chamadas de jacarés, *P. trigonatus*, *P. palpebrosus*, *M. niger*, *C. crocodilus*, *C. latirostris* e *C. yacare* (King e Burke, 1989; Da Silveira, 2002), das quais apenas as duas últimas não ocorrem na Amazônia. *C. latirostris* (jacaré-de-papo-amarelo), além de ser nativo de regiões de Mata Atlântica no Brasil, ocorre em outros países, como Argentina, Bolívia, Paraguai e Uruguai, com amplitude através das bacias dos rios Paraná, Paraguai, São Francisco e Uruguai (Verdade, 1998; Verdade, 2001; Silva-Soares *et al.*, 2011).

O jacaré-do-Pantanal (*C. yacare*) está distribuído nas planícies do norte e leste da Bolívia e oeste do Brasil, no sul da Amazônia nas áreas do sistema de rios Guaporé/ Madeira e Paraguai/ Paraná, e no norte da Argentina (Crawshaw e Schaller, 1980; Llobet e Aparicio, 1999; Campos, 1993). A espécie possui um comportamento nunca descrito para os demais taxa, que é o movimento terrestre coordenado em grupos, com ocorrência principalmente na estação seca de agosto a dezembro, que estão relacionadas à proteção contra predadores e à probabilidade de captura de presas (Campos, 2003).

As características morfológicas e ecológicas são semelhantes as do jacaré da Amazônia, *C. crocodilus*, como tonalidade corpórea esverdeada com manchas cinza e amarela, podendo alcançar até 3,0 metros de comprimento (Vasconcelos e Campos, 2007). O ciclo reprodutivo da espécie está associado à dinâmica sazonal de secas e inundações do Pantanal, e a ocupação de diversas formações aquáticas (Da Silveira *et al.*, 1997). Apesar da caça ilegal em passado recente, é uma espécie amplamente distribuída na planície pantaneira; análises sugerem que esta caça predatória não teve impacto negativo nas populações (Mourão *et al.*, 1996).

A criação em cativeiro de *C. yacare* possui um grande potencial econômico (Villela, 2008), como melhor aproveitamento da pele, diminuição da pressão sobre os estoques nativos e, assim, como outros animais silvestres, um bom requisito para evitar extinção. Essa atividade é recente, com poucas informações referentes ao sistema de criação, nutrição, instalações, processamento de pele (Maciel *et al.*, 2003; Rieder *et al.*, 2004). Considerando a implantação de criadouros comerciais pelo alto valor da pele e carne dos jacarés, estudos sobre sanidade destes animais são importantes para conservação e manejo da espécie, pois é comum relatos de infecções por nematoides, trematódeos, septicemia bacteriana, coccidiose e hematozoários, como *Trypanosoma* e *Hepatozoon* (Ladds e Sims, 1990; Catto, 1991; Ladds *et al.*, 1995; Viana e Marques, 2005; Viola *et al.*, 2009).



**Figura 1.** Distribuição das famílias de crocodilianos existentes, Crocodylidae, Alligatoridae e Gavialidae. **A:** América Central – *Crocodylus acutus*, *C. intermedius*, *C. moreletii*, *C. rhombifer*; África – *C. cataphractus*, *C. niloticus*, *Osteolaemus tetraspis*; Ásia-Austrália – *C. johnstoni*, *C. mindorensis*, *C. novaeguineae*, *Cr palustris*, *C. porosus*, *C. siamensis*. **B:** América do Norte – *Alligator mississippiensis*; América Central-Sul – *Caiman crocodilus*, *Melanosuchus niger*, *Paleosuchus palpebrosus*, *P. trigonatus*; América do Sul – *C. latirostris*, *C. yacare*; Ásia – *A. sinensis*, *Gavialis gangeticus*, *Tomistoma schlegelii*. Molnar (1993).

#### APICOMPLEXA: *Hepatozoon*

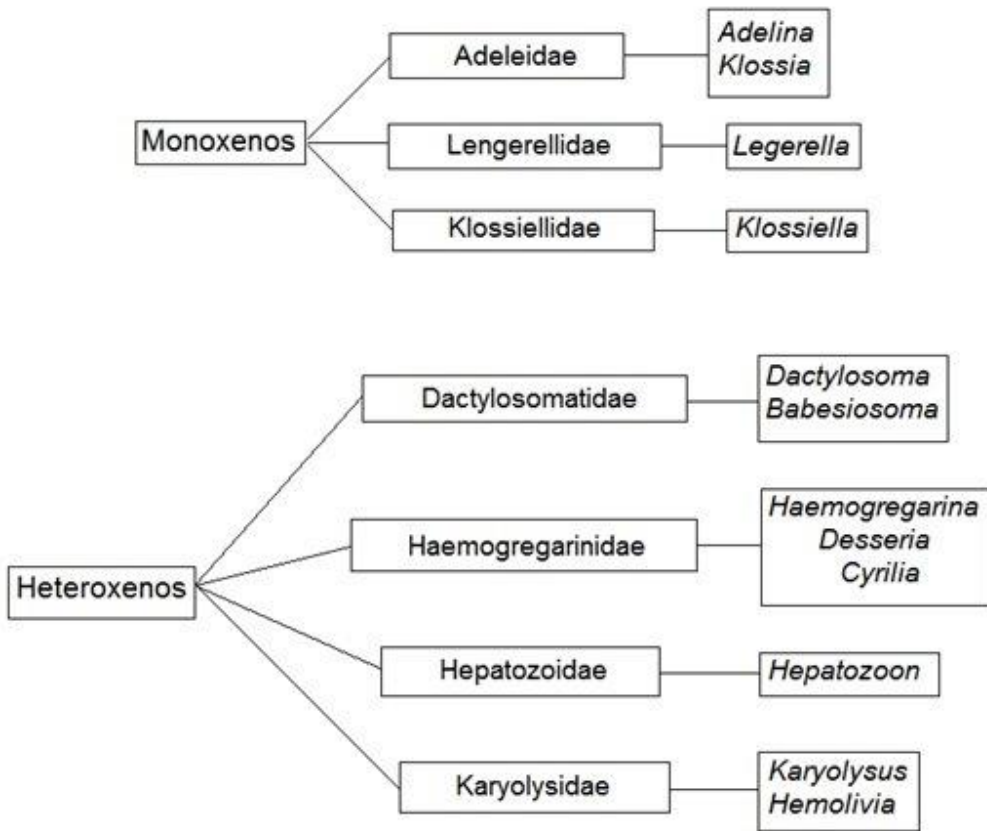
Protista é um termo genérico designado para descrever eucariotos com nível de organização unicelular, sem diferenciação celular entre tecidos, pertencentes ao reino Chromalveolata Adl *et al.*, 2005, no qual estão inseridos os filos Cryptophyceae Haptophyta, Stramenopiles e Alveolata. A união desses quatro filos está baseada na ancestralidade em comum com endossimbiontes archaeoplastidas, porém em Ciliophora isso ainda não está claro (Adl *et al.*, 2005).

O sub-filo Apicomplexa (Alveolata) Levine, 1980, emend. Adl *et al.*, 2005 abrange as ordens Aconoidasida, Colpodellida e Conoidasida, representadas por parasitos obrigatórios (exceto Colpodellida) com pelo menos uma fase do ciclo de vida com vesículas subpeliculares achatadas e um complexo apical que consiste em um ou mais anéis polares, roptrias, micronemas, conóide e microtúbulos; fase sexuada, quando conhecida, ocorre por singamia seguida por meiose, para produzir descendentes haploides; a reprodução assexuada de estágios haploides ocorre por fissão binária, endogenia, endopoligenia, e/ou esquizogonia (Siddall, 1995; Adl *et al.*, 2005).

Aconoidasida e Conoidasida representam as ordens de Apicomplexa de grande importância na medicina humana e animal. Aconoidasida inclui os gêneros *Mesnilium* e *Plasmodium* (Haemosporida Danilewsky, 1885), *Babesia* e *Theileria* (Piroplasmida Wenyon, 1926); entretanto, Conoidasida abrange um grupo maior de espécies inclusas em *Acuta*, *Cephalolobus*, *Gregarina*, *Levinea*, *Menospora*, *Namatocystis*, *Nematopsis*, *Steinina*, *Trichorhynchus* (Gragarinasina Dufour, 1828), *Cryptosporidium*, *Cyclospora*, *Eimeria* e *Hepatozoon* (Coccidiásina Leuckart, 1879) (Adl *et al.*, 2005).

Inserido em Coccidiásina, a subordem Adeleorina é caracterizada por organismos com um ciclo de vida complexo, envolvendo um ou mais ciclos assexuados (merogonia), seguido por gametogonia, singamia e esporogonia (Barta, 2000). Os maiores grupos de Adeleorina incluem parasitos de invertebrados (monoxenos) e vertebrados (heteroxenos) (**Figura 2**). Dentre os parasitos que necessitam de um ciclo heteroxeno, as famílias Haemogregarinidae, Hepatozoidae e Karyolysidae são as mais destacadas, pois constitui um grupo de hemoparasitos genericamente denominados de hemogregarinas, com prevalência em peixes, répteis, aves, anfíbios e mamíferos.

A família Haemogregarinidae é a maior delas possuindo três gêneros, *Desseria*, *Cyrilia*, que são parasitos intraeritrocíticos de peixes, com transmissão realizada por sanguessugas, e *Haemogregarina*, parasitos de vertebrados aquáticos, como peixes, répteis e anfíbios. Os vetores conhecidos até o presente momento para o gênero *Haemogregarina* são sanguessugas das famílias Glossiphoniidae e Ozobranchidae (Siddall 1995) e isopodos gnatídeos (Crustacea: Isopoda: Gnathiidae) em peixes marinhos (Davies *et al.*, 2004).



**Figura 2.** Classificação das famílias de Adeleorina, seguida por seus respectivos gêneros, proposta por Barta (2000).

A segunda família é Karyolysidae, que comporta dois gêneros: *Hemolivia*, que são protozoários intraeritrocíticos em anuros e quelônios, com a transmissão feita por caracatos (e.g *Amblyomma rotundatum*); e *Karyolysus*, que se trata de um hemoparasito exclusivamente de lagartos do Velho Mundo, descrito em apenas dois gêneros, *Lacerta* e *Podarcis*, com a transmissão realizada pela ingestão de ácaros (e.g *Sauronyssus saurarum*). A etimologia do gênero vem da função de atividade de lise nuclear que esses parasitos exercem sobre os eritrócitos dos hospedeiros (Telford, 2008).

Hepatozoidae é a menor família das três, representada por apenas um gênero, *Hepatozoon* (Barta, 2000). O gênero foi reportado pela primeira vez em 1908 por Miller, em um trabalho sobre o ciclo de vida de *H. muris* (sin. *H. perniciosum*) em ratos, utilizando o ácaro *Laelaps echidninus* como vetor. O desenvolvimento do parasito no ácaro ocorre pela formação de um grande oocisto com muitos esporocistos contendo esporozoítos. Os ácaros infectados, quando ingeridos por ratos, liberam os esporozoítos, que invadem o sistema circulatório dos roedores e formam merontes dentro das células do fígado. Os merozoítos, após alguns ciclos dentro das células do

fígado, invadem leucócitos e/ou eritrócitos, transformando-se em gametócitos, estágio infectante para ácaros (Miller, 1908).

Após a descrição realizada por Miller, outros trabalhos foram publicados incluindo diferentes hospedeiros vertebrados, os quais incluíam aves (Hoare, 1924), lagartos (Robin, 1936), serpentes (Ball *et al.*, 1967), tartarugas (Michel, 1973), crocodilianos (Hoare, 1932) e anuros (Desser *et al.*, 1995). Durante a descrição de novos hospedeiros vertebrados (intermediários) de *Hepatozoon*, foi verificada uma variedade de hospedeiros invertebrados (definitivos), incluindo ácaros, carapatos, triatomíneos, flebotomíneos, mosquitos culicídeos e anofelinos, moscas tsé-tsé (Telford, 1984; Viana *et al.*, 2011), piolhos (Clark *et al.*, 1973), pulgas (Göbel e Krampitz, 1982; Bennett *et al.*, 1992) e possivelmente sanguessugas (Pessôa e Cavalheiro, 1969a; 1969b).

Apesar desta diversidade em hospedeiros vertebrados e invertebrados, o ciclo de vida básico como descrito para *H. muris*, foi observado para todos os membros do gênero para os quais os dados de ciclo de vida completo são válidos. Dependendo das espécies, o desenvolvimento esporogônico para estes parasitos resultam invariavelmente na formação de grande oocisto poliesporocístico. Este pode ocorrer na parede intestinal ou na hemocele do hospedeiro invertebrado hematófago. A transmissão dos parasitos para vertebrados ocorre exclusivamente pela ingestão de invertebrados hematófagos infectados, com merogonia subsequente, e algumas vezes cistos, o desenvolvimento ocorre em vários órgãos internos. Gametócitos podem parasitar eritrócitos ou, como é comum entre espécies de *Hepatozoon* infectantes em mamíferos, leucócitos (Smith, 1996).

Divergência sob os aspectos taxonômicos acompanharam a descrição desses seis gêneros há mais de um século, devido as grandes semelhanças observadas nos estágios eritrocíticos, impossibilitando a identificação somente com base nesse estágio. No passado, aproximadamente 400 espécies de hemogregarinas foram descritas com o critério de que “*a presença em hospedeiros diferentes indica identidade específica*” (Telford, 1984). Entretanto, descrições mais apuradas foram realizadas no final dos anos 60 com a utilização de estágios esporogônicos (Ball, 1967). Atualmente são aceitas descrições de espécies quando se tem a combinação do estágio esporogônico, juntamente com as informações da morfologia dos gametócitos, tornando inviável a utilização de apenas um desses estágios (Telford, 2008). Em répteis, os gêneros *Hepatozoon* e *Karyolysus* são muitas vezes indistinguíveis com base na morfologia de gametócitos, nesse caso a inferência de ferramentas moleculares são fundamentais nos trabalhos de descrições.

## **HEPATOZOON EM CROCODILIANOS**

Os primeiros relatos de hemogregarinas em crocodilianos foram reportados por Simond (1901) na Índia, com a descrição de *Haemogregarina hankini* em *Gavialis gangeticus* e *Crocodylus porosus*; e Börner (1901) na Alemanha, que descreveu *Haemogregarina* sp. em *Crocodylus cutus* e *Alligator mississippiensis*, sendo esta última espécie introduzida no país.

Os trabalhos clássicos conhecidos foram realizados na África, por Thiroux (1910), Chatton e Roubaud (1913) e Hoare (1932) que reportaram a presença e transmissão de *H. pettiti* em *Crocodylus niloticus*. Posteriormente, em 1952, Santos Dias descreveu uma nova espécie de hemogregarina para *C. niloticus*, *H. sheppardi*. Para a América do Norte Khan *et al.* (1980) relataram a *Haemogregarina* sp. em *Alligator mississippiensis*.

Seis espécies de crocodilianos foram reportadas infectadas com *Hepatozoon*, destes, duas espécies foram registradas na América do Sul, *H. serrei* em *Paleosuchus trigonatus* e *H. caimani* em *Caiman latirostris* (Smith, 1996). Recentemente este número foi estendido pela descrição de *H. caimani* em *Caiman crocodilus* e *Caiman yacare* (Lainson *et al.*, 2003). Formas similares a *H. caimani* foram observadas em *Melanosuchus niger* (Lainson *et al.*, 2003).

### ***Hepatozoon caimani* (CARINI, 1909)**

Em 1909 no Brasil, Carini descreveu pela primeira vez, no Estado do Rio de Janeiro, a espécie *Haemogregarina caimani* parasitando o jacaré-de-papo-amarelo, *Caiman latirostris*. Posteriormente *Haemogregarina caimani* foi modificada para *Hepatozoon caimani*. Outros registros foram realizados por Migone (1916) no Paraguai em *Caiman crocodilus*, no qual o autor se restringiu usar o nome específico do parasito, e por Di Primio (1925) na mesma espécie de jacaré, entretanto denominando a espécie do parasito como *Haemogregarina brasiliensis*.

Os registros realizados por Carini (1909), Migone (1916) e Di Primio (1925) foram obtidos apenas com documentação de formas encontradas em esfregaços delgados. Pessoa *et al.* (1972) no Estado de Goiás, Brasil, descreveram o desenvolvimento esporogônico de *H. caimani* testando hematofagismo por *Haementeria lutzi* (Hirudinea: Glossiphoniidae), *Triatoma infestans* (Hemiptera: Reduviidae) e *Culex dolosus* (Diptera: Culicidae) em dois

exemplares de *C. latirostris*, entretanto obtiveram sucesso no desenvolvimento apenas no mosquito *Cx. dolosus*, 24 dias pós infecção (d.p.i).

Em 1977 Lainson na região de Bragança, Estado do Pará, verificou o padrão de desenvolvimento esporogônico de *Hepatozoon* sp. em mosquitos *Cx. fatigans* (= *quinquefasciatus*), com a formação de uma grande quantidade de esporocistos em cada oocisto, assim como relatado por Pessoa *et al.* (1972).

Anos mais tarde Lainson *et al.* (2003) descreveram pela primeira vez, também no Estado do Pará, o ciclo de vida de *H. caimani* em *C. crocodilus* utilizando anuros das espécies *Rana catesbeiana* (Anura: Ranidae) e *Leptodactylus fuscus* (Anura: Leptodactylidae) como hospedeiros paratênicos. A esporogonia, da infecção experimental foi estudada no mosquito *Cx. fatigans*, alimentados sobre espécimes de *C. crocodilus* que apresentavam gametócitos em sangue periférico. Os esporozoítos iniciaram o desenvolvimento no espaço entre o epitélio intestinal do inseto e na membrana elástica da hemocele, superfície do estômago. Os oocistos esporulados estavam aderidos no intestino, envolvidos pela membrana superficial.

Oocistos totalmente maduros foram observados 21 dias após o hematofagismo. Com 30 d.p.i nenhum estágio esporogônico foi encontrado em sanguessugas alimentadas sobre jacarés infectados. Os anuros *L. fuscus* e *R. catesbeiana*, alimentados com mosquitos contendo oocistos maduros, apresentaram cistos contendo cistozoítos desenvolvidos nos órgãos internos, principalmente fígado. Após se alimentarem destes anuros, os jacarés de cativeiros (negativos para hemogregarinas) apresentaram gametócitos em sangue periférico entre 59 e 79 d.p.i, e desenvolveram cistos em tecidos do fígado, baço, rins e pulmão. O estágio de merogonia foi observado somente na lamina própria do intestino delgado dos jacarés (Lainson *et al.*, 2003).

No Pantanal Sul Matogrossense, trabalhos foram realizados para ampliar o conhecimento do ciclo de vida de *H. caimani* em populações naturais de jacarés, *C. yacare*, como a descrição de prevalência; indicando uma margem superior a 70% dos animais positivos para *H. caimani*, com diferenças entre as faixas etárias, onde os adultos (100%) e sub-adultos (97%) foram positivos, enquanto 63% de jacarés juvenis foram positivos e todos os indivíduos mais jovens estavam negativos, indicando que jacarés são primeiramente infectados no primeiro período como juvenis (Viana e Marques, 2005; Viana *et al.*, 2010a).

Diferenças no hábito alimentar e exposição a vetores entre jacarés muito jovens e juvenis, sugerido por Viana *et al.* (2010b) como um fator de risco à infecção de *H. caimani* no Brasil central, designou a execução de outros estudos abordando

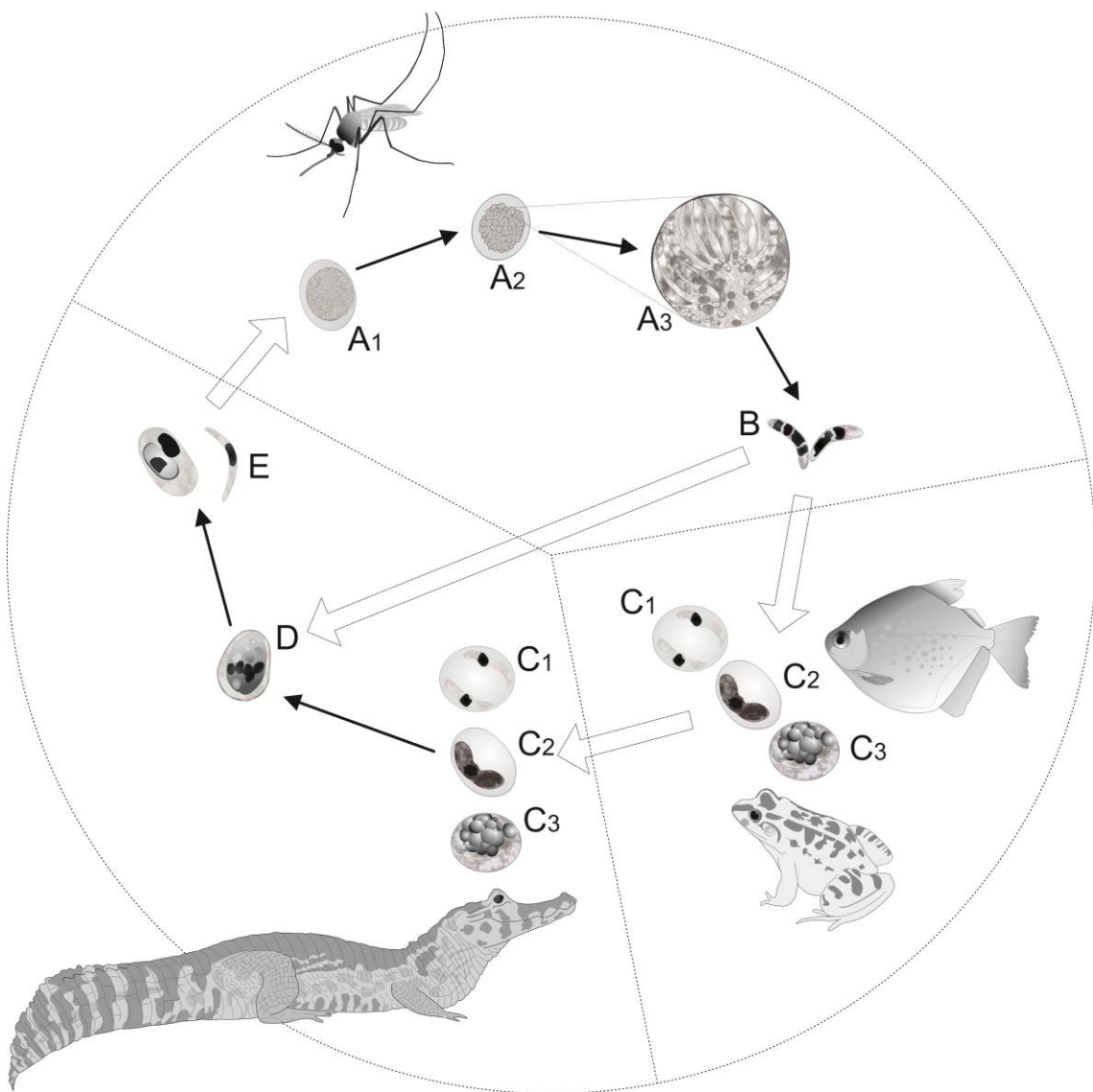
incriminação vetorial, utilizando mosquitos da espécie *Cx. (Melanoconion) spp.* como vetores, e estrutura trófica em infecção natural através da ingestão de anuros simpátricos *L. chaquensis*, *L. podicipinus* e *Scinax nasicus* (Anura: Hylidae), como hospedeiros paratênicos de *H. caimaní* para os jacarés *C. yacare* e *C. latirostris* (Viana et al., 2012).

Os anuros, *L. chaquensis*, *L. podicipinus* e *Scinax nasicus*, previamente negativos para hemogregarinas foram alimentados com oocistos esporulados de mosquitos *Cx. melanoconion* sp. mantidos em colônia em laboratório. Posteriormente foram necropsiados aos 30 d.p.i cistozoítos foram identificados em impressão fresca de fígado de *L. chaquensis*; os órgãos internos foram fornecidos a jacarés das espécies *C. yacare* e *C. latirostris* oriundos de criações comerciais e livres de infecção por hemogregarinas. Os *C. yacare* alimentados com o órgão destes anuros apresentaram gametócitos em sangue periférico entre 74 e 80 d.p.i. Gametócitos também foram observados em *C. latirostris* alimentados com órgãos de *L. podicipinus* e *S. nasicus* entre 60–70 e 69–75 d.p.i, respectivamente (Viana et al., 2012) (**Figura 3**).

Após as descrições da susceptibilidade de anuros à infecção de *H. caimaní* em jacarés, Pereira et al. (2014) realizaram um experimento testando peixes como hospedeiros paratênicos, empregaram quatro espécies de mosquitos (*Aedes fluviatilis*, *A. albopictus*, *A. aegypti* e *Cx. quinquefasciatus*) alimentados sobre dois *C. yacare* naturalmente infectados, que exibiam níveis distintos de parasitemia: 11.05% e 1.25%. Nenhum dos mosquitos, *A. fluviatilis*, *A. albopictus* e *A. aegypti*, alimentados em um dos primeiros jacarés sobreviveram o período correspondente ao ciclo esporogônico. A maioria dos mosquitos engurgitados morreram em período de 48 horas após se alimentarem. Todos *A. aegypti* alimentados no segundo jacaré estavam negativos, enquanto 91.3% de *C. quinquefasciatus*, alimentados sobre o mesmo jacaré, apresentaram oocistos.

Duas espécies de peixes Characidae, *Metynnis* sp. e *Astyanax* sp., foram individualmente alimentados com *Cx. quinquefasciatus* previamente engurgitados (21–23 d.p.i) sobre o segundo jacaré. Nenhum parasito foi encontrado em *Astyanax* sp. Ao contrário de *Metynnis* sp., onde todos apresentaram numerosos cistos, contendo cistozoítos, em mais de 8 meses após a ingestão de mosquitos infectados. Os cistos estavam localizados próximos dos vasos hepáticos, na túnica íntima destes vasos. Os gametócitos foram observados no sangue periféricos de jacarés jovens que ingeriram os peixes infectados no período de 9–12 semanas aproximadamente (Pereira et al., 2014) (**Figura 3**).

A ocorrência de anuros e peixes na dieta de jacarés em ambiente silvestre associada com o sucesso da infecção em animais simpátricos é sugerido por Lainson *et al.* (2003), Viana *et al.* (2012) e Pereira *et al.* (2014) como uma das vias naturais de transmissão natural de *H. caimani* para jacarés. Apesar de esses resultados terem grande importância para o conhecimento sobre ciclo de vida de *H. caimani* em *C. yacare*, de modo geral, a especificidade de hospedeiros para *Hepatozoon* foi muito questionada (Telford *et al.*, 2001).



**Figura 3:** Diagrama representativo do ciclo de *H. caimani*, parasito de *C. yacare*, com base nas descrições de Lainson et al. (2003), Viana et al. (2011) e Pereira et al. (2014). A esporogonia em mosquitos do gênero *Culex*, inicia o desenvolvimento no espaço entre o epitélio intestinal do inseto e a membrana da hemocele, onde o oocisto (**A1**) realiza o processo de esporulação (**A2**) produzindo esporocistos (**A3**), contendo esporozoítos (**B**), que são formas infectantes para os hospedeiros intermediários e paratênicos. A infecção nos jacarés pode ocorrer por via de ingestão direta de mosquitos, quando os esporozoítos invadem a lâmina própria do intestino delgado dos jacarés, se desenvolvem em merontes (**D**). Os merontes produzem merozoítos que invadem hemácias e diferenciam-se em gametócitos intra e/ou extraeritrocítico (**E**), que quando ingeridos por mosquitos dão origem aos oocistos. Outra via de transmissão ocorre quando hospedeiros paratênicos ingerem mosquitos contendo esporozoítos, que se modificam para cistos (**C1**, **C2** e **C3**) nos órgãos hepáticos; os jacarés, quando se alimentam desses hospedeiros, apresentam diferenciação dos cistos para merontes. As formas de cistozoítos (**C1** e **C2**) são observadas em cortes histológicos, e (**C3**) visualizada em exame a fresco em tecidos infectados. Ilustração: Fábio Ricardo da Rosa.

## Referências Bibliográficas

- Adl SM, Simpson AGB, Farmer MA, Andersen RA, Anderson OR, Barta JR, Bowser SS, Brugerolle G, Fensome RA, Fredericq S, James TY, Karpov S, Kugrens P, Krug J, Lane CE, Lewis LA., Lodge J, Lynn DH, Mann DG, McCourt RM, Mendoza L, Moestrup Ø, Mozley-Standridge SE, Nerad TA, Shearer CA, Smirnov AV, Spiegel FW, Taylor MF Jr (2005) The new higher level classification of Eukaryotes with emphasis on the taxonomy of Protists. *Journal of Eukaryotic Microbiology* 52: 399–451
- Ball GH, Chao J, Telford SR (1967) The life history of *Hepatozoon rarefaciens* (Sambon and Seligman, 1907) from *Drymarchon corais* (Colubridae) and its experimental transfer to *Constrictor constrictor* (Boidae). *Journal of Parasitology* 53: 897-909
- Barta JR (2000) Adeleorina. 305-318. In Lee JJ, Leedale GF, Bradbury P (eds). An Illustrated Guide to the Protozoa. 2a ed. Allen Press Inc., KS 66044 USA.
- Bennett G, Earle M, Pierce M (1992) New species of avian *Hepatozoon* (Apicomplexa: Haemogregarinidae) and re-description of *Hepatozoon neophrontis* (Todd, Wohlbach 1912) Wenyon, 1926. *Syst Parasitol* 23: 183-193
- Börner C (1901) Untersuchungen über Hämosporidien. I. Ein Beitrag zur Kenntniss des Genus *Haemogregarina* Danilewsky. *Z. Wissenschaft. Zool* 69: 398-416
- Brusatte SL, Benton MJ, Lloyd GT, Ruta M, Wang SC (2011) Macroevolutionary patterns in the evolutionary radiation of archosaurs (Tetrapoda: Diapsida). *Earth and Environmental Science Transactions of the Royal Society of Edinburgh* 101: 367–382
- Campos Z (2003) Terrestrial Activity of Caiman in the Pantanal, Brazil. *Copeia* 3: 628-634
- Catto JB (1991) Taxonomia e ecologia dos helmintos parasitos de *Caiman crocodilus yacare* (Crocodilia: Alligatoridae) no Pantanal Mato-Grossense. Tese de Doutorado. Universidade Federal Rural do Rio de Janeiro. Brasil.
- Carini H (1909) Sur une hemogrégarine du *Caiman latirostris* Daud. *Bulletin de la Société de pathologie exotique* 2: 471-472
- Chantton EPL, Roubaud E (1913) Sporogonie d'une hémogrégarine chez une tsetse (*Glossina plapalis* R. Desv.). *Bulletin de la Société de pathologie exotique* 11: 595-609
- Clark K, Robinson R, Weishuhn T, Galvin T, Horvath K (1973) *Hepatozoon procyonis* from the Grey Squirrel (*Sciurus carolinensis* Gmelin, 1988), with studies of the life cycle. *Journal of Parasitology* 44: 52-63
- Crawshaw Jr PG, Schaller G (1980) Nesting of the Paraguayan caiman (*Caiman yacare*) in Brazil. *Papéis Avulsos de Zoologia* 33: 283-292
- Da Silveira R, Magnusson WE, Campos Z (1997) Monitoring distribution, abundance and breeding áreas of Caiman crocodillus crocodilus and Melanosuchus niger in the Anavilhanas Archipelago, Central Amazonia, Brazil. *Journal of Herpetology* 31: 514-520

Da Silveira R (2002) Conservação e manejo de jacaré-açú (*Melanosuchus niger*) na amazônia brasileira. 61-78 In Verdade LM, Larriera A (Ed). Conservação e manejo de jacarés e crocodilos da América Latina. Piracicaba: C.N. Editora.

Davies AJ, Smit NJ, Hayes PM, Seddon AM, Wertheim D (2004) Haemogregarina bigemina (Protozoa: Apicomplexa: Adeleorina) – past, present and future. *Folia Parasitologica* 51: 99-108

Desser SS, Hong H, Martin DS (1995) The life history, ultrastructure, and experimental transmission of *Hepatozoon catesbeiana* n. comb., an apicomplexan parasite of the bullfrog, *Rana catesbeiana* and the mosquito, *Culex territans* in Algonquin Park, Ontario. *Journal of Parasitology* 81: 212–222

Di Primio R (1925) Contribuição para o conhecimento das Haemogregarinas do Brasil. *Sciencia & Medicine* 3: 574-576

Göbel E, Krampitz HE (1982) Histologische Untersuchungen zur Gamogenie und Sporogenie von *Hepatozoon erhardovae* in experimentell infizierten Rattenflöhen (*Xenopsylla cheopis*). *Zeitschrift für Parasitenkunde* 67:261-271

Hoare CA (1924) *Hepatozoon adiei* n. sp., a blood parasite of an Indian eagle. *Transactions of the Royal Society for Tropical Medicine and Hygiene* 28: 63-66

Hoare CA (1932) On protozoal blood parasites collected in Uganda: with an account of the life-cycle of the Crocodile Haemogregarine. *Parasitology* 24: 210-224

Khan RAD, Forrester DJ, Goodwin TM, Ross CA (1980) A hemogregarine from the American alligator (*Alligator mississippiensis*). *Journal of Parasitology* 66: 324-328

King FW, Burke RL (1989) Crocodilian, Tuatara, and Turtle Species of the World: A Taxonomic and Geographic Reference. Association of Systematics Collections, Washington DC, USA.

Ladds PW, Mangunwirjo H, Sebayang D, Daniels PW (1995) Diseases in young farmed crocodiles in Irian Jaya. *The Veterinary Record* 136: 121-124

Ladds PW, Sims LD (1990) Diseases of young captive crocodiles in Papua New Guinea. *Australian Veterinary Journal* 67: 323-330

Lainson R (1977) *Trypanosoma cecili* n. sp., a parasite of the South American cayman, *Caiman crocodilus crocodilus* (Linnaeus, 1758) (Crocodylia: Alligatoridae). *Protozoology* 3: 87-93

Lainson R, Paperna I, Naiff RD (2003) Development of *Hepatozoon caimani* (Carini, 1909) Pessoa, de Biasi and de Souza, 1972 in the *Caiman c. crocodilus*, the frog *Rana catesbeiana* and mosquito *Culex fatigans*. *Memórias do Instituto Oswaldo Cruz* 98: 103-113

Llobet A, Aparicio JK (1999) Abundancia, estructura poblacional y perspectivas de aprovechamiento de Caiman yacare en cinco estancias del Departamento del Beni. 285-293 In Manejo y Conservación de Fauna Silvestre en América Latina. Fang TG, Montenegro OL, Bodmer RE. Instituto de Ecología: La Paz, Bolivia

Maciel FR, Logato PVR, Fialho ET, Freitas RTF, Aleixo VM (2003) Coeficiente de digestibilidade aparente de cinco fontes energéticas para o Jacaré do Pantanal (*Caiman yacare*, Daudin, 1802). Ciência Agrotécnica 27: 675-680

Michel JC (1973) Hepatozoon mauritanicum (Et. et Ed. Sergent, 1904) n. comb. Parasite de *Testudo graeca*; redescription de la sporogonie chez *Hyalomma aegyptium* et de la schizogonic tissulaire d'après le matériel d'E. Brumpt. Annales de Parasitologie Humaine et Comparee 48: 11-21

Migone LC (1916) Parasitologie de certains animaux au Paraguay. Bulletin de la Société de pathologie exotique 9: 359-364

Miller WW (1908) Preliminary Note of a New Pathogenic Hæmogregarine, Hepatozoön Pernicosum, Found in White Rats in Washington, D. C. Public Health Reports 23: 1070-1071

Molnar RE (1993) Biogeography and Phylogeny of the Crocodylia. In Fauna of Australia, Amphibia and Reptilia: 1–11. Glasby GC, Ross GJB, Beesley PL (Eds). Canberra: Australian Government Publishing Service

Mourão G, Campos Z, Coutinho M, Abercrombie C (1996). Size structure of illegally harvested and surviving caiman, *Caiman crocodilus yacare*, in Pantanal, Brazil. Biological Conservation 75: 261-265

Pereira GR, Soares P, Gomes MQ, Viana LA, Manso PPA, Machado MP, Paiva P, Lourenço-de-Oliveira R (2014) Are fish paratenic natural hosts of the caiman haemoparasite *Hepatozoon caiman*? Parasitology Research 13: 39–45

Pessôa SB, Cavalheiro J (1969a) Notas sobre Hemogregarinas de serpentes Brasileiras. VII. Revista Brasileira de Biologia 29: 351-354

Pessôa SB, Cavalheiro J (1969b) Notas sobre Hemogregarinas de serpentes Brasileiras. VIII. Sobre a evolução da “*Haemogregarina miliaris*” na sanguessuga “*Haementeria lutzii*”. Revista Brasileira de Biologia 29: 351-354

Pessôa SB, De Biasi, Souza DM (1972) Esporulação do *Hepatozoon caimani* (Carini, 1909), parasita do jacaré-de-papo-amarelo: *Caiman latirostris* Daud, no *Culex dolosus* (L. Arribálzaga). Memórias do Instituto Oswaldo Cruz 70: 379-383

Pough FH, Janis CM, Heiser JB (2003) A vida dos vertebrados. 3a ed. São Paulo: Atheneu Editora

Reisz RR, Modesto SP, Scot DM (2011) A new early Permian reptile and its significance in early diapsid evolution. Proceedings of the Royal Society B doi:10.1098/rspb.2011.0439

Rieder A, Melo EAS, Borges MF, Borges RCP, Ignácio ARA, Camacho AC (2004) Relações biométricas de jacarés (*Caiman crocodilus yacare*) criados em sistema de cativeiro, Cáceres, Alto Pantanal, Mato Grosso, Brasil. IV Simpósio sobre recursos Naturais e Sócio-Econômicos do Pantanal. Corumbá, MS

Robin LA (1936) Cycle évolutif d'un *Hepatozoon* de *Gecko verticillatus*. Annales de l'Institut Pasteur 56: 376-394

Siddall ME (1995) Phylogeny of adeleid blood parasites with a partial systematic revision of the haemogregarina complex. *Journal of Eukaryotic Microbiology* 42: 116-125

Silva-Soares T, Ferreira RB, Salles ROL, Rocha CFDR (2011) Continental, insular and coastal marine reptiles from the municipality of Vitória, state of Espírito Santo, southeastern Brazil. *Check list* 7: 290-298

Simond PL (1901) Contribution a l'étude des hématozoaires endoglobulaires des reptiles. *Annales de l'Institut Pasteur* 15: 319-351

Smith TG (1996) The genus *Hepatozoon* (Apicomplexa: Adeleina). *Journal of Parasitology* 82: 565-585.

Telford Jr SR (1984) Haemoparasites of reptiles. In: Huff GI, Frye F, Jacobson ER (Eds.), *Diseases of Amphibians and Reptiles*, Plenum Press, New York

Telford Jr SR, Wozniak EJ, Butler JF (2001) Haemogregarine specificity in two communities of Florida snakes, with descriptions of six new species of *Hepatozoon* (Apicomplexa: Hepatozoidae) and a possible species of *Haemogregarina* (Apicomplexa: Haemogregarinidae). *Journal of Parasitology* 87: 890-905

Telford Jr SR (2008) Hemoparasites of the Reptilia: color atlas and text. CRC Press

Thiroux A (1910) Une hémogregarine de *Crocodilus niloticus*. *Comptes Rendus des Séances et Mémoires de la Société de Biologie* 69: 577-578.

Vasconcelos W, Campos Z (2007) Geographic variation between Pantanal Caiman (*Caiman crocodilus yacare*) and Amazonian Caiman (*Caiman crocodilus crocodilus*): First Phase. *Crocodile Specialist Group Newsletter* 26: 6-7.

Verdade LM (1998) *Caiman latirostris*: 18-20 In Ross JP (Ed.), *Crocodiles: Status Survey and Conservation Action Plan*. 2a ed. IUCN

Verdade LM (2001) The São Francisco River “Codfish”: the northernmost wild populations of the Broads-snouted caiman (*Caiman latirostris*). *Crocodile Specialist Group Newsletter* 20: 80-82

Viana LA, Marques EJ (2005) Haemogregarine parasites (Apicomplexa: Hepatozoidae) in *Caiman crocodilus yacare* (Crocodylia: Alligatoriae) from Pantanal. Corumbá, MS, Brazil. *Revista Brasileira de Parasitologia Veterinária* 14: 173-175

Viana LA, Paiva F, Coutinho ME, Lourenço-de-Oliveira R (2010a) *Hepatozoon caimani* (Apicomplexa: Hepatozoidae) in wild caiman, *Caiman yacare*, from the Pantanal region, Brazil. *Journal of Parasitology* 96: 83-88

Viana LA, Soares P, Paiva F, Lourenço-de-Oliveira R (2010b) Caiman-biting mosquitoes and the natural vectors of *Hepatozoon caimani* in Brazil. *Journal of Medical Entomology* 47: 670-676

Viana LA, Soares P, Paiva F, Silva JE, Coutinho ME (2012) Anurans as paratenic hosts in the transmission of *Hepatozoon caimani* to caimans *Caiman yacare* and *Caiman latirostris*. *Parasitology Research* 110: 883-886

Viola LB, Almeida RS, Ferreira RC, Campaner M, Takata CSA, Rodrigues AC, Paiva F, Camargo EP, Teixeira MG (2009) Evolutionary history of trypanosomes from South American caiman (*Caiman yacare*) and African crocodiles inferred by phylogenetic analyses using SSU rDNA and gGAPDH genes. Parasitology 136: 55–65

Villela PMS (2008) Caracterização genética de crocodilianos brasileiros e desenvolvimento de marcadores microssatélites para *Paleosuchus trigonatus*. Tese (Doutorado em Ecologia Aplicada) Escola Superior de Agricultura Luiz de Queiroz, Universidade de São Paulo, Piracicaba.

Wozniak EJ, Kazacos KR, Telford Jr SR, McLaughlin GL (1996) Characterization of the clinical and anatomical pathological changes associated with *Hepatozoon mocassini* infections in unnatural reptilian hosts. International Journal for Parasitology 26: 141–146

## ARTIGO

**CARACTERIZAÇÃO DE *Hepatozoon caimani* (Carini, 1909)  
(ADELEINA: HEPATOZOVIDAE) EM *Caiman yacare* Daudin, 1801  
(CROCODYLIA: ALLIGATORIDAE)**

Priscilla Soares dos Santos<sup>1</sup>, Tarcilla C. Borghesan<sup>3</sup>, Lúcio André Viana Dias<sup>2</sup>, Luiz Eduardo R. Tavares<sup>2</sup>, Vanda Lúcia Ferreira<sup>†</sup>, Ricardo Lourenço-Oliveira\*, Fernando Paiva<sup>2</sup>

Manuscrito formatado de acordo com as normas da revista **Parasitology Research**

<sup>1</sup>Programa de Pós-Graduação em Biologia Animal, Universidade Federal de Mato Grosso do Sul, Campo Grande, MS, Brasil. soares\_priscilla@yahoo.com.br

<sup>2</sup>Laboratório de Parasitologia Veterinária, Centro de Ciências Biológicas e da Saúde, Universidade Federal de Mato Grosso do Sul, Campo Grande, MS, Brasil

<sup>3</sup>Departamento de Parasitologia, Instituto de Ciências Biomédicas, Universidade de São Paulo, São Paulo, SP, Brasil

<sup>†</sup>Laboratório de Zoologia, Centro de Ciências Biológicas e da Saúde, Universidade Federal de Mato Grosso do Sul, Campo Grande, MS, Brasil

\*Laboratório de Transmissores de Hematozoários, Instituto Oswaldo Cruz-Fiocruz, Manguinhos, RJ, Brasil

20 **RESUMO**

21  
22 Na região do Miranda-Abobral, Pantanal Sul-matogrossense, foram amostrados 39  
23 jacarés adultos, dos quais 31 (79,5%) estavam parasitados por *H. caimani*. Formas  
24 intraeritrocíticas foram caracterizadas por morfologia alongada, algumas encapsuladas, não  
25 recurvada, podendo ser estreitos ou amplos. As formas extraeritrocíticas apresentaram  
26 extremidades atenuadas e variações na morfologia. Gametócitos extraeritrocíticos apresentaram  
27 intensidade média de 6,19% e formas intraeritrocíticas 7,42%. Foi observada relação positiva  
28 entre comprimento e largura das hemácias parasitadas ( $P = 0,000$ ;  $r^2 = 0,544$ ), indicando que a  
29 largura das hemácias varia em função do comprimento. O comprimento das hemácias  
30 parasitadas e não parasitadas diferiram ( $P = 0,036$ ;  $z = 2,100$ ), assim como largura ( $P = 0,000$ ;  $z$   
31 = 5,984) e área ( $P = 0,002$ ;  $z = 3,058$ ). Entretanto, a morfometria dos núcleos das hemácias  
32 apresentaram diferença significativa apenas para comprimento ( $P = 0,000$ ;  $z = 5,685$ ) e área ( $P$   
33 = 0,000;  $z = 3,663$ ). Tecidos dos animais parasitados, por *H. caimani*, processados por técnicas  
34 histológicas, não apresentaram alterações patológicas; apenas nos pulmões e fígados foram  
35 visualizados cistos próximos aos vasos. Merontes foram encontrados na parede de vasos dos  
36 fígados e entre ductos nos rins. Amostras de sangue foram processadas mediante PCR e  
37 resultaram em amplificados com cerca de 600 e 900 Bp, respectivamente para os primers  
38 HEPF300/HEP900 e HEMO1/ HEMO2. Este foi o primeiro estudo de confirmação molecular  
39 do gênero *Hepatozoon* em populações de jacarés naturalmente infectados; com detalhamento  
40 morfológico de gametócitos em microscopia eletrônica de varredura, e histológico de merogonia  
41 em fígado e rins de *C. yacare*.

42  
43 Palavras-chave: Apicomplexa, sequenciamento 18S rDNA, histopatologia, jacaré-do-Pantanal

44  
45 **Abstract**

46  
47 In the Miranda-Abobral region, located in the southern part of Pantanal, were sampled  
48 39 adult caiman, among which 31 (79.5%) were parasitized to *H. caimani*. Intraerythrocytic  
49 forms were characterized by elongated morphology, some encapsulated not recurred, and may be  
50 narrow or broad. The extraerythrocytic forms showed attenuated ends and variations in the  
51 morphology. Extraerythrocytic gametocytes showed medium intensity of 6.19 and  
52 intraerythrocytic forms 7.42. Positive relationship was observed between length and width of  
53 parasitized erythrocytes ( $P = 0.000$ ;  $r^2 = 0.544$ ), indicating the width of the erythrocytes varies  
54 with the length. The length of the erythrocytes parasitized and not parasitized differed ( $P =$   
55 0.036;  $z = 2.100$ ), as well as width ( $P = 0.000$ ;  $z = 5.984$ ) and area ( $P = 0.002$ ;  $z = 3.058$ ).  
56 However, the morphometric of the nucleos erythrocytes showed significant difference only for  
57 length ( $P = 0.000$ ;  $z = 5.685$ ) and area ( $P = 0.000$ ;  $z = 3.663$ ). Animals tissues parasitized by *H.*  
58 *caimani* processed by histological techniques showed no pathological changes; only in lungs  
59 and livers were visualized cysts near to veins. Meronts were found in the veins wall of the livers  
60 and between kidney ducts. Sample bloods were processed to PCR and resulted in amplifications  
61 about 600 and 900 Bp, respectively to primers HEPF300/HEP900 and HEMO1/ HEMO2. This  
62 the first study for molecular confirmation of the *Hepatozoon* genus in caiman population  
63 naturally infected; with morphological detail of gametocytes in scanning electron microscopy,  
64 and histological of merogony in liver and lungs of *C. yacare*.

65  
66  
67 Keywords: Apicomplexa, sequenciamento 18S rDNA, histopathology, jacaré-do-Pantanal

68  
69

70

71

72                   **INTRODUÇÃO**

73

74                 Estudos sobre prevalência e vias de transmissão trófica contribuíram inestimavelmente  
75                 para compreensão sobre o ciclo de vida de *H. caimani* nas populações naturais de jacarés  
76                 (Lainson *et al.* 2003, Viana e Marques 2005, Viana *et al.* 2012, Pereira *et al.* 2014), porém, de  
77                 modo geral, a especificidade dos hospedeiros para *Hepatozoon* foi muito questionada (Telford  
78                 *et al.* 2001). A baixa especificidade das hemogregarinas em répteis propicia uma grande  
79                 diversidade de espécies hospedeiras; esse histórico pode determinar condições clínicas com  
80                 significantes lesões inflamatórias necrosantes, incluindo hepatites, pancreatites e esplenites, que  
81                 em sua maioria estão relacionadas com as infecções em hospedeiros não naturais ou incomuns  
82                 (Pessoa *et al.* 1974, Wozniak *et al.* 1991, Wozniak *et al.* 1994b) .

83                 A constatação de gametócitos em novos hospedeiros foi usada para justificar a descrição  
84                 de novas espécies (Ball 1967, Sloboda *et al.* 2007), o que dificulta classificação, em  
85                 decorrência das inconsistências morfológicas e ausência de informações genéticas (Mathew *et*  
86                 *al.* 2000, Sloboda *et al.* 2007). Desta forma, considerando que esses parasitos podem infectar  
87                 uma ampla variedade de espécies de hospedeiros, Telford *et al.* (2004) sugeriram a utilização de  
88                 ferramentas moleculares para mensurar as relações filogenéticas entre eles e seus hospedeiros,  
89                 como proposta de diagnóstico e taxonomia.

90                 Os protocolos moleculares, além de contribuírem para detecção dos parasitos em  
91                 amostras de sangue e tecidos, podem ser efetivos na distinção entre espécies (Wozniak *et al.*  
92                 1994a, Ujvari *et al.* 2004, Criado-Fornelio *et al.* 2007). O objetivo do estudo foi caracterizar  
93                 morfologicamente e molecularmente o gênero *Hepatozoon* nas populações naturais do jacaré *Caiman*  
94                 *yacare*, no Pantanal Sul matogrossense, bem como aspectos histopatológicos da infecção.

95

96                   **MATERIAL E MÉTODOS**

97

98                 **Área de estudo** – As coletas de amostras foram realizadas no Pantanal Sul Mato-  
99                 grossense, nas regiões do Miranda e Abobral, município de Corumbá/MS. Os ambientes

100 lênticos estavam localizados próximos a rodovia MS-184, divididos em dois pontos Est1  
101 (S19°19'07.4" W057°03'14.9") e Est2 (S19°19'08.0" W057°03'15.0"). Os ambientes  
102 lóticos foram representados pelo rio Vermelho, seccionado em dois pontos, Rio Ver1  
103 (S19°22'09.3" W057°03'04.3") e Rio Ver3 (S19°37'09.9" W056°56'48.7").

104

105 **Captura e amostragem** – Os jacarés foram capturados através busca ativa, em seguida  
106 foram mensurados comprimento rostro-cloacal (CRC) e total. Foram capturados apenas  
107 indivíduos adultos, CRC superior a 80 cm, em função dos resultados apresentados por  
108 Viana *et al.* (2010). A coleta de sangue foi realizada por punção cardíaca, na região  
109 sagital do tórax, na junção da décima linha de placas esternais, em tubos com  
110 anticoagulante comercial (BD Vacutainer™ K3 EDTA) e encaminhados ao laboratório  
111 para diagnósticos (licença SISBIO Nº 36781-1).

112

113 **Caracterização morfológica e morfométrica** - Para verificar a existência de formas  
114 extraeritrocíticas de *H. caimani* nos jacarés, foi empregada a técnica de  
115 microhematócrito (Woo 1969). Foram realizados esfregaços delgados do sangue total,  
116 fixados com álcool metílico e corados com Giemsa, para caracterização morfológica e  
117 morfométrica das formas de *H. caimani*. As lâminas foram analisadas em sistema  
118 computadorizado LAS 3.8 (Lite Qwin– Leica). A intensidade parasitária foi determinada pelo  
119 número de formas observadas em 2.000 eritrócitos, em 20 réplicas de 100 eritrócitos  
120 examinadas por campo (Godfrey *et al.* 1987, 1990).

121

122 **Microscopia Eletrônica de Varredura** – Alíquotas de 500µL de amostra de sangue, contendo  
123 *H. caimani*, foram diluídas em igual volume PBS pH 7,2, agitadas lentamente e após  
124 sedimentação, o sobrenadante foi desprezado e adicionado PBS novamente na mesma  
125 proporção, conforme Bhowmick *et al.* (2013) e processadas em equipamento de microscopia  
126 eletrônica de varredura JEOL JSM6380-LV.

127

128 **Procedimento histopatológico** – Cinco jacarés foram eutanasiados, mediante aplicações  
129 intracerebral de Thiopentax®. Em seguida, os indivíduos foram necropsiados, com  
130 processamento de órgãos e tecidos por impressão e coloração pelo Giemsa. Porções do fígado,  
131 baço, pulmão, rins e coração foram transferidos para frascos contendo formol 4% tamponado,  
132 para fixação e preservação tecidual. O material foi incluído em parafina para coloração por  
133 hematoxilina-eosina. Sangue, coletadas na cavidade oral dos jacarés, também foram  
134 submetidas a procedimentos histológicos, com o mesmo protocolo utilizado para os órgãos dos  
135 jacarés.

136

137 **Análises estatísticas** - Os índices ecoparasitológicos foram calculados e expressos conforme  
138 Bush *et al.* (1997). A distribuição dos parasitos na população de *C. yacare* foi determinada pelo  
139 índice de dispersão (ID = variância pela média da intensidade parasitária) e pelo índice de  
140 discrepância (D) (Poulin 1993). Para as análises descritivas e cálculo dos índices ID e D foi  
141 usado o programa Quantitative Parasitology 3.0 (Rozsa *et al.* 2000). O teste de regressão linear  
142 foi utilizado para verificar relação entre comprimento e largura de células parasitadas e não  
143 parasitadas; o teste z para comparar morfometria de hemácias e núcleo parasitadas e não  
144 parasitadas, mediante das informações de comprimento, largura e área, usando o programa  
145 Systat 12.0 (SYSTAT 2007). Com base em parâmetros morfométricos como, comprimento,  
146 largura e área de gametócitos intra e extraeritrocítico, foi realizada Análise de componentes  
147 principais (PCA), para verificar se estes gametócitos apresentam algum padrão morfológico que  
148 os distinguem entre si. Os valores foram considerados estatisticamente significativos quando  $P$   
149  $< 0.05$ .

150

151 **Extração de DNA, PCR e sequenciamento** - O DNA total de oito amostras de sangue,  
152 com diagnóstico parasitológico positivos para *H. caimani*, foi extraído pela técnica  
153 fenol-clorofórmio segundo Sambrook e Russell (2001). Para as PCRs foram utilizados  
154 dois pares distintos de oligonucleotídeos, ambos para regiões do gene 18S rRNA. O  
155 primeiro foi desenhado por Ujvari *et al.* (2004) (HepF300/ Hep900), *forward* 5'-

156 GTTTCTGACCTATCAGCTTCGACG-3' e *reverse* 5'-  
157 CAAATCTAAGAATTCAACCTCTGAC-3. O segundo por Perkins e Keller (2001),  
158 HEMO1 e HEMO2, com o *forward primer* específico para hemogregarinas (5'-TAT  
159 TGG TTT TAA GAA CTA ATT TTA TGA TTG-3') e um *reverse primer* específico  
160 para parasitos do sub-filo Apicomplexa (5'-CTT CTC CTT CCT TTA AGT GAT AAG  
161 GTT CAC-3').

162 As amostras extraídas foram quantificadas em equipamento NanoDrop  
163 2000/spectrophotometer (Thermo Scientific) submetidas ao PCR, em reações com total  
164 de 50µL, 1µL de cada set de primer para concentração final 2 mM, 20-50 ng do  
165 *template*, 5U/µL taq polimerase e DNTPs 2mM e PCR *buffer* e água Milli Q; em todas  
166 as reações um controle negativo era empregado. O ciclo foi ajustado previamente em  
167 reações em gradiente (dados não apresentados) em equipamento Mastercycler Gradient  
168 (Eppendorf®).

169 As condições das reações para o conjunto de *primers* HepF300/ Hep900 foi:  
170 ciclo inicial 98°C/ 2min., e 35 ciclos de 94°C/ 45s, 50°C/ 30s, 72°C/ 90s e extensão  
171 final 72°C/ 5min; e para o conjunto Hemo1/Hemo2 - ciclo inicial 98°C/ 2min, em 35  
172 ciclos de 94°C/ 45s, 42°C/ 30s, 72°C/ 1min 30s, e extensão final 72°C/ 7min.

173 Os produtos de amplificação foram submetidos à eletroforese a 80 V, em gel de  
174 agarose 1,5% com Brometo de Etídio (50 µL/1L) para evidenciação em iluminação  
175 ultravioleta em 300 nm. Para estimativa do numero de pares de base (bp) foram  
176 aplicados dois marcadores: um de 1 Kb (Ludwig Biotecnologia Ltda) e outro de 100 bp  
177 (SigmaAldrich).

178 Os fragmentos de DNA amplificados por PCR, apenas purificados foram submetidos a  
179 reações de sequenciamento utilizando o kit Big Dye Terminator (Perkin Elmer), de acordo com  
180 especificações do fabricante, em sequenciador automático ABI PRISM 3500 Genetic Analyzer  
181 (Perkin Elmer) e ABI PRISM 3100 Genetic Analizer (Perkin Elmer). As reações foram  
182 submetidas a 30 ciclos: 15s a 96°C; 15s a 50°C; 4min a 60°C, com um ciclo inicial de 1min a

183 96°C. Nas reações de sequenciamento foram utilizados os respectivos oligonucleotídeos citados  
184 acima.

185

186 **RESULTADOS**

187

188 **Caracterização dos gametócitos e alterações celulares** - Foram amostrados 39 jacarés adultos,  
189 dos quais 31 estavam parasitados por *H. caimani*, prevalência de 79,5%. Gametócitos  
190 extraeritrocíticos foram observados pela técnica de Woo (1969) e em esfregaços delgados, com  
191 intensidade média 6,19% (1 – 26). As formas intraeritrocíticas foram visualizadas somente em  
192 esfregaços delgados, intensidade parasitária de 7,42% (1 – 42). Ambas as formas foram  
193 visualizadas em todos os animais parasitados, os índices de discrepância para as formas intra e  
194 extraeritrocíticos foram, respectivamente, de 0,589 e 0,591.

195 Apesar da intensidade parasitária média não ser alta, foi possível observar agrupamento  
196 de gametócitos extraeritrocíticos invadindo o mesmo eritrócito (Figuras 10: A e B), e eritrócitos  
197 parasitados por mais de um gametócito (Figura 11 C).

198 Foi constatada relação positiva entre comprimento e largura das hemárias parasitadas ( $P$   
199 = 0,000;  $r^2$  = 0,544), indicando que a largura das hemárias varia em função do comprimento  
200 (Figura 1), entretanto não houve relação entre comprimento e largura das hemárias não  
201 parasitadas ( $P$  = 0,061;  $r^2$  = 0,346). O comprimento das hemárias parasitadas e não parasitadas  
202 diferiram ( $P$  = 0,036;  $z$  = 2,100), assim como a largura ( $P$  = 0,000;  $z$  = 5,984) e área ( $P$  = 0,002;  
203  $z$  = 3,058) (Figuras 2, 3 e 4). Entretanto, a morfometria do núcleo das hemárias apresentou  
204 diferença significativa apenas para o comprimento ( $P$  = 0,000;  $z$  = 5,685) e área ( $P$  = 0,000;  $z$  =  
205 3,663) (Figuras 5 e 6). A largura do núcleo não apresentou diferença significativa entre  
206 hemárias parasitadas e não parasitadas ( $P$  = 0,127;  $z$  = -1,527).

207 Pela análise de componentes principais, variáveis como comprimento, largura e área dos  
208 gametócitos foram ineficientes para separar grupos distintos de gametócitos intraeritrocíticos.  
209 Entretanto, essas variáveis foram conspícuas para reforçar a separação de gametócitos intra e  
210 extraeritrocíticos (Figura 7).

211 As formas extraeritrocíticas (Figura 9) apresentaram dimensões de  $23,89 \pm 3,37 \times 2,81$   
212  $\pm 0,65 \mu\text{m}$  ( $14,67 - 34,183 \times 1,251 - 6,292$ ;  $n = 145$ ) (Tabela 1) com extremidades atenuadas.  
213 Além das variações morfométricas, foram também observadas variações na morfologia. A  
214 cromatina nuclear apresentou variação na disposição, em relação ao citoplasma, podendo variar  
215 de mediana ao segundo quarto do corpo do gametócito (Figuras 10: A e B).

216 Formas intraeritrocíticas foram caracterizadas por morfologia alongada, algumas  
217 encapsuladas, não recurvada (Figura 11 A), podendo ser estreitos ou amplos,  $12,4 \pm 1,79 \times 4,11$   
218  $\pm 1 \mu\text{m}$  ( $8,9 - 22,3 \times 2,2 - 8,3$ ;  $n = 145$ ) (Tabela 1). Núcleos posicionados nas porções terminais  
219 ou medianas, com cromatina condensada ou dispersa (Figuras 11: A e B). O citoplasma  
220 apresentou colorações distintas, em alguns foram observadas opacidade e ausência de pigmento,  
221 em outros (gametócitos encapsulados) a coloração de tonalidade azulada persistiu inibindo a  
222 visualização do núcleo (Figura 11 D). Em 87,1% dos jacarés parasitados, foi observado vacúolo  
223 parasitário eritrocítico (Figura 11 C). Além das alterações hipertróficas em células parasitadas,  
224 outras modificações foram observadas, como deslocamento do núcleo celular central para a  
225 extremidade, e até mesmo ausência (Figuras: 12 A e B).

226

227 **Microscopia Eletrônica de Varredura** – Os gametócitos extraeritrocíticos visualizados  
228 corroboram as características morfológicas observadas em microscopia de luz; apresentando  
229 corpo alongado, sem estriações, com destaque para o anel apical conspícuo e a porção posterior  
230 afilada (Figura 9).

231

232 **Histopatologia** - Merontes foram encontrados na parede dos vasos do fígado e entre ductos dos  
233 rins (Figuras 13: A, B, C e D). Na lâmina própria do intestino delgado, não foram observadas  
234 estruturas semelhantes. Os dados morfométricos se encontram na Tabela 2. Dentre os tecidos  
235 examinados (rins, baço, pulmão, fígado e intestino delgado e grosso), apenas os pulmões e  
236 fígados apresentaram cistos, contendo cistozoítos, próximos aos vasos sanguíneos (Figuras 14:  
237 A, B e C; Tabela 2). Tecidos dos animais parasitados, por *H. caimani*, não apresentaram

238 alterações como infiltrados e/ou necroses circundando merontes e cistos. Em células epiteliais  
239 do intestino delgado foi observado estágio de macrogametócito jovem semelhante aqueles  
240 observados para *Eimeria* spp. (7,527 x 8,182 $\mu$ m; 25,901  $\mu$ m<sup>2</sup>) (Figuras 16: A e B).

241 As sanguessugas colhidas na cavidade oral dos jacarés, apresentaram oocistos, contendo  
242 esporocistos, além de estruturas compatíveis a rosetas, semelhantes as encontradas em parasitos  
243 Apicomplexa (Figuras 15: A, B, C e D; Tabela 3), no entanto não foi possível concluir a qual  
244 gênero pertenciam.

245

246 **Análise molecular** – Ambos os conjuntos de *primers* HepF300/ Hep900 e HEMO1/  
247 HEMO2 amplificaram fragmentos, com cerca de 600 e 900 bp, respectivamente; avaliados em  
248 gel de agarose (Figura 8). O sequenciamento direto dos produtos dos PCRs não foi possível,  
249 sendo necessário a clonagem dos amplicons (Anexo3). O processamento de clonagem está em  
250 curso.

251

## 252 DISCUSSÃO

253

254 Uma vez que prevalência e intensidade das infecções parasitárias são consideradas  
255 como parâmetros importantes no monitoramento das doenças em animais silvestres (Mihalca et  
256 al. 2008), os dados obtidos foram confrontados com outros registros na mesma região, porém  
257 em anos diferentes. A prevalência de jacarés parasitados na amostra estudada correspondeu a  
258 79.5% ( $n = 39$ ) semelhante aos dados de Viana e Marques (2005) (71.4%;  $n = 28$ ) e Viana et al.  
259 (2010) (77.22%;  $n = 229$ ), porém, inferior aos de Almeida (2006) (98.44% ;  $n = 129$ ). Parte  
260 dessa diferença pode ser explicada através das amostras e/ou esforço amostral distinto (Arya et  
261 al. 2012). A alta prevalência de *H. caimani* é provavelmente explicada, pelo o comportamento  
262 de distribuição agregada das populações de *C. yacare* (Campos 2003, Campos et al. 2003), pois  
263 a densidade populacional de hospedeiros, contatos entre indivíduos, implica proporcionalmente  
264 no aumento linear da taxa de transmissão (Anderson e May 1979, Anderson e May 1981,  
265 McCallum et al. 2001).

266 Considerando os papéis desempenhados por parasitos em interações tróficas, outra  
267 influência para alta prevalência de *H. caimani* na população de *C. yacare* pode estar associada à  
268 dieta, pois além da transmissão direta do vetor ao jacaré (Viana et al. 2010), existe a  
269 transmissão mediante hospedeiros vertebrados paratênicos, na qual, o hospedeiro intermediário  
270 (*C. yacare*) predá hospedeiros paratênicos, que contém fases do parasito que não se  
271 desenvolvem, denominadas cistos (Landau et al. 1972). A estrutura trófica em infecção natural,  
272 através da ingestão de anuros simpáticos *Leptodactylus chaquensis*, *L. podicipinus*  
273 (Leptodactylidae) e peixes *Metynnis* sp. (Characidae) demonstraram susceptibilidade desses  
274 hospedeiros paratênicos na transmissão de *H. caimani* para *C. yacare* (Viana et al. 2012, Pereira  
275 et al. 2014).

276 O comprimento e largura média dos gametócitos intraeritrocíticos (Tabela 1) foram  
277 semelhantes aos relatados por Lainson et al. (2003) (12,15 $\mu\text{m}$  × 4,3 $\mu\text{m}$ ) e Viana e Marques  
278 (2005) (12,7 $\mu\text{m}$  × 4,4 $\mu\text{m}$ ); entretanto diferem nos valores correspondentes a amplitude, sendo  
279 que os gametócitos do presente trabalho apresentaram maiores amplitudes. Além das formas  
280 intraeritrocíticas, os gametócitos extraeritrocíticos também apresentaram medidas semelhantes  
281 às formas descritas por Lainson et al. (2003), porém amplitudes distintas. A prevalência de  
282 79,5%, considerou a parasitemia de gametócitos intra e extraeritrocíticos, pois todos os animais  
283 parasitados por *H. caimani* apresentaram as duas formas simultaneamente. Entretanto, Almeida  
284 (2006) observou diferença na parasitemia, relatando que os gametócitos intraeritrocíticos foram  
285 mais abundantes. Além das diferenças dos gametócitos, reportadas no presente estudo, alguns  
286 eritrócitos continham mais de um gametócito, já descritos em crocodilianos (Lainson et al.  
287 2003) e serpentes (O'Dwyer et al. 2003, O'Dwyer et al. 2004).

288 Em parasitos do sub-filo Apicomplexa, os gametócitos estão comumente  
289 individualizados dentro de uma única célula, na circulação do hospedeiro, como por exemplo,  
290 eritrócitos; no entanto duas ou três formas podem ser observadas (Jovani et al. 2004). O termo  
291 *double gametocyte*, foi utilizado por Jovani (2002) para explicar infecções com gametócitos  
292 duplos (DGI's). A ocorrência de DGI's é frequente em eritrócitos de répteis, como quelônios  
293 (Mihalca et al. 2002, Široký et al. 2004), serpentes (Jakes et al. 2003, O'Dwyer et al. 2004) e

294 crocodilianos (Lainson et al. 2003). A amostra estudada diferiu dos resultados de Jakes et al.  
295 (2003), que relataram como observação ocasional; no presente estudo todos os individuos  
296 positivos para *H. caimani*, apresentaram parasitismo duplo. Segundo Jovani (2002), a  
297 ocorrência de dois ou mais gametócitos presentes em uma única célula é considerada como  
298 potencial para facilitar a transmissão do parasito para hospedeiros invertebrados.

299 Os resultados obtidos pela comparação morfológica de gametócitos de *Hepatozoon* em  
300 serpentes, apresentados por Moço et al. (2002), concluiram que, dependendo da variável  
301 considerada, pode-se separar diferentes populações. Contudo, no presente estudo, as diferenças  
302 observadas na morfologia dos gametócitos intraeritrocíticos, como comprimento, largura e área  
303 não foram suficientes para separar em grupos distintos empregando análise de componentes  
304 principais; demonstrando que a comparação entre formas transitórias de gametócitos intra e  
305 extraeritrocíticos são mais consistentes para separação em dois grupos, porém, não é viável  
306 separá-las como populações distintas, uma vez que são apenas modificações de fases do ciclo de  
307 vida do parasito.

308 Os oocistos observados nas sanguessugas apresentam morfologia semelhante às  
309 pranchas de *Hepatozoon fusifex* em *Aedes togoi*, ilustradas por Telford (2008) e reportada por  
310 Ball et al. (1969). Porém a morfometria descrita para as formas diagnosticadas nas sanguessugas  
311 apresentaram estruturas com maiores dimensões daquelas relatadas por Ball et al. (1969).  
312 Apesar das estruturas observadas serem semelhantes a oocistos descritos para o gênero em  
313 trabalhos anteriores, não se pode concluir que essas formas representam, de fato, fases de  
314 *Hepatozoon*, pois trabalhos precedentes com ciclo de vida demonstraram que sanguessugas são  
315 vetores de *Haemogregarina*, *Desseria* e *Cyrilia* (Khan et al. 1980, Lainson 1981, Siddall e  
316 Desser 1991, Siddall 1995). Algumas tentativas de infecção experimental de *Hepatozoon* para  
317 crocodilianos não obtiveram sucesso com a utilização de sanguessugas (Pessôa et al. 1972,  
318 Lainson et al. 2003). Em serpentes aquáticas, Smith et al. (1994) observaram que, embora *P.*  
319 *ornata* compartilhe o mesmo ambiente que *Nerodia sipedon* (Squamata: Colubridae), e ser  
320 validada como hospedeiro definitivo potencial para *Hepatozoon sipedon*, não apresenta  
321 desenvolvimento de estágios sexuais ou esporogônicos.

322 Durante as primeiras análises histológicas em peças de intestino delgado, para busca de  
323 estágios merogônicos, foi observada uma estrutura semelhante à macrogametócito jovem de  
324 *Eimeria* ssp.. Anteriormente, Aquino-Shuster e Duszynski (1989) descreveram duas espécies de  
325 eimerídeos em *C. yacare*, *E. caimani* e *E. paraguayensis*.

326 Este foi o primeiro relato de merogonia em órgãos hepáticos de jacarés, pois Lainson et  
327 al. (2003) realizaram exames em oito jacarés da espécie *C. crocodilos*, naturalmente infectados  
328 com *H. caimani*, não diagnosticaram estágio de merogonia nestes órgãos, apenas na lâmina  
329 própria do intestino delgado. A observação de merogonia em rins e fígados é comum em  
330 mamíferos parasitados por *H. canis*, assim como nodos linfáticos, músculos esqueléticos e  
331 cardíacos (Miller 1908, Ivanov e Tsachev 2008). Este não foi o primeiro registro sobre  
332 diagnóstico de cistos monozoica e dizóica em fígado de jacarés; Lainson et al. (2003) já haviam  
333 descrito em *C. crocodilus*. Relatos como estes também foram observados em mamíferos (Desser  
334 1990, Baneth e Shkap 2003).

335 O termo “infecção” é referido como, presença de parasito em um indivíduo ou  
336 população de hospedeiros, enquanto “doença” se refere a condições clínicas que podem ser  
337 observadas ou mensuradas (Scott 1988). Em animais silvestres tendem a manifestar poucos  
338 sinais reconhecíveis de doenças (Gulland 1997). Johnson et al. (2008) verificaram a ocorrência  
339 de cistos de *H. americanum* em macrófago do miocárdio do roedor *Sigmodon hispidus* com a  
340 presença de atrofia, degeneração e necrose da miofibra com foco de infiltrado inflamatório no  
341 tecido do miocárdio. No anuro *Hoplobatrachus rugulosus*, naturalmente infectado com  
342 *Hepatozoon* sp., apresentou lesões predominantemente no fígado, com inflamação subaguda  
343 com infiltração de linfócitos e eosinófilos em torno dos merontes de *Hepatozoon* sp., e lesões  
344 semelhantes a granulomas (Sailasuta et al. 2011). Segundo Telford (1984), a ausência de  
345 infiltração inflamatória e/ou necrose em torno de merontes e cistos, observadas nos animais do  
346 presente estudo, é explicada como uma aparente adaptação destes hemoparasitos aos seus  
347 hospedeiros naturais, que provavelmente foram expostos no passado a altas taxas de infecção  
348 (Ebert 2005).

349 A especificidade de hospedeiros é descrita como um grau de adaptação para o qual um  
350 parasito é especialista, que confere grande importância para aspectos ecológicos e evolutivos  
351 das interações parasito-hospedeiros (Ebert 2005). Um exemplo de especificidade de *Hepatozoon*  
352 para répteis é expressa pela infecção de *H. mocassini* em serpentes e lagartos, realizadas por  
353 Wozniak et al. (1996), que examinaram serpentes, *Agkistrodon piscivorus leucostoma*,  
354 naturalmente parasitadas por *H. mocassini*, as quais continham numerosos merontes e cistos  
355 dizóicos hepáticos e nenhuma evidência de inflamação ou necrose foi notada circundando os  
356 merontes ou cistos dízicos nos tecidos. Entretanto, quando *H. mocassini* foi transmitido para  
357 três espécies de lagartos (*Sceloporus undulatus*, *Eumeces obsoletus*, *S poinsetti*), todos  
358 apresentaram leve letargia no início da infecção e posteriormente apresentaram letargia severa e  
359 anorexia. Portanto, a alta intensidade parasitária observada em sangue periférico de *C. yacare* e  
360 a ausência de alterações histopatológicas podem ser atribuídas em parte pela especificidade do  
361 parasito.

362 A utilização dos *primers* HEMO1/HEMO2 e HEPF300/HEP900 para o PCR das  
363 amostras de sangue colhidas de *C. yacare*, foi resultante de protocolos anteriores que prediziam  
364 sobre a descrição de diagnósticos rápidos, com iniciadores específicos 18S para parasitos  
365 Apicomplexa em hospedeiros com eritrócitos nucleados (Ujvari et al. 2001, Perkins e Keller  
366 2001). Estes mesmos protocolos foram aplicados em estudo realizado com hepatozoídeos de  
367 serpentes no Brasil (Moço 2012). Entretanto, os processos das reações dos ciclos para cada  
368 *primer*, foram readaptados para o presente estudo. Lamentavelmente, não foi possível  
369 sequenciar diretamente os amplificados obtidos, sem clonagem; oportunamente esta fase será  
370 concluída e possibilitará a comparação das sequências com outras depositadas em bancos  
371 genéticos.

372 A descrição do ciclo de vida de *H. caimani*, realizadas anteriormente (Lainson et al.  
373 2003, Viana et al. 2010, Viana et al. 2012, Viana et al. 2013, Pereira et al. 2014) associadas aos  
374 resultados da PCR, confirmam o gênero *Hepatozoon*. No Brasil, quando diagnosticado em  
375 comunidades de jacarés é classificado como uma única espécie, *H. caimani*. Este foi o primeiro  
376 estudo de confirmação molecular do gênero *Hepatozoon*; com detalhamento morfológico dos

377 gametócitos em microscopia eletrônica de varredura, e histológico dos estágios de merogonia  
378 em fígado e rins de *C. yacare* no Pantanal Sul-matogrossense.

379

380

381           **Referências**

382

383 Almeida RS (2006) *Trypanosoma* sp. (Protozoa: Kinetoplastida) em *Caiman yacare*  
384 (Crocilia: Alligatoridae), no Pantanal de Mato Grosso do Sul – Região Miranda Abobral.  
385 Dissertação de Pós Graduação em Ecologia e Conservação. UFMS. Campo Grande

386

387 Anderson RM, May RM (1979) Population biology of infectious diseases: Part I. Nature 280:  
388 361-367

389

390 Anderson RM, May RM (1981) The population dynamics of micro-parasites and their  
391 invertebrate hosts. Philos Trans R Soc Lond B 291: 451-524

392

393 Aquino-Shuster AL, Duszynski DW (1989) Coccidian parasites (Apicomplexa: Eimeriidae)  
394 from two species of crocodilian, *Caiman yacare* Daudin and *Caiman latirostris* Daudin,  
395 (Alligatoridae) from Paraguay, South America. J. Parasitol. 75: 348-352

396

397 Arya R, Antonisamy B, Kumar S (2012) Sample Size Estimation in Prevalence Studies. Indian J  
398 Pediatr 79:1482–1488

399

400 Ball GH, Chao J, Telford SR (1967) The life history of *Hepatozoon rarefaciens*  
401 (Sambon and Seligman, 1907) from *Drymarchon corais* (Colubridae) and its  
402 experimental transfer to *Constrictor constrictor* (Boidae). Journal of Parasitology 53:  
403 897-909

404

405 Ball GH, Chao J, Telford Jr SR (1969) *Hepatozoon fusifex* sp. n., a Hemogregarine from Boa  
406 constrictor Producing Marked Morphological Changes in Infected Erythrocytes. The J Parasitol  
407 55: 800-813

408

409 Baneth G, Shkap V (2003) Monozoic Cysts of *Hepatozoon canis*. J Parasitol 89: 379-381

410

411 Bhowmick S, Das DK, Maiti AK, Chakraborty C (2013) Structural and textural classification of  
412 erythrocytes in anaemic cases: A scanning electron microscopic study. Micron 44: 384–394

- 413
- 414 Bush AO, Lafferty KD, Lotz JM, Shostak AW (1997) Parasitology meets ecology on its own  
415 terms: Margolis *et al.*, revisited\*. J Parasitol 83: 575-583
- 416
- 417 Campos Z (2003) *Caiman crocodilus yacare*. Food-related movement. Herp Rev 34: 141
- 418
- 419 Campos Z, Coutinho M, Magnusson W (2003) Terrestrial activity of caiman in the Pantanal,  
420 Brazil. Copeia 2003: 628-634
- 421
- 422 Criado-Fornelio A, Ruas JL, Casado N, Farias NAR, Soares MP, Müller G, Brum JGW, Berne  
423 MEA, Buling-Saraña A, Barba-Carretero JC (2006) New molecular data on mammalian  
424 *Hepatozoon* species (Apicomplexa: Adeleorina) from Brazil and Spain. J Parasitol 92: 93-99
- 425
- 426 Desser SS (1990) Tissue "cysts" of *Hepatozoon griseisciuri* in the grey squirrel, *Sciurus*  
427 *carolinensis*: the significance of these cysts in species of *Hepatozoon*. J Parasitol 76: 257-259
- 428
- 429 Ebert D (2005) Ecology, Epidemiology, and Evolution of Parasitism in Daphnia [Internet].  
430 Bethesda (MD): National Library of Medicine (US), National Center for Biotechnology  
431 Information. Available from: <http://www.ncbi.nlm.nih.gov/entrez/query.fcgi?db=Books>
- 432
- 433 Godfrey Jr RD, Fedynich AM, Pence DB (1987) Quantification of haematozoa in blood smears.  
434 J Wildlife Dis 23: 558-565
- 435
- 436 Godfrey Jr RD, Pence DB, Fedynich AM (1990) Effects of host and spatial factors on a  
437 haemoproteid community in mourning doves from western Texas. J Wildlife Dis 26: 435-441
- 438
- 439 Gulland FMD (1979) The impact of parasites on wild animal populations. Parasitologia 39:  
440 287-291
- 441
- 442 Ivanov A, Tsachev I (2008) *Hepatozoon canis* and hepatosporosis in the dog. Trakia Journal of  
443 Sciences 6: 27-35
- 444
- 445 Jakes KA, O'Donoghue PJ, Whittier J (2003) Ultrastructure of *Hepatozoon boigae* (Mackerras,  
446 1961) nov. comb. from brown tree snakes, *Boiga irregularis*, from northern Australia. Parasitol  
447 Res 90: 225-231
- 448
- 449 Johnson EM, Allen KE, Breshears MA, Panciera RJ, Little SE, Ewing SA (2008)

- 450 Experimental transmission of *Hepatozoon americanum* to rodents. Vet Parasitol 151:164–169  
451
- 452 Jovani R (2002) Malaria transmission, sex ratio, and erythrocytes with two gametocytes. Trends  
453 Parasitol 18:537–539  
454
- 455 Jovani R, Amo L, Arriero E, Krone O, Marzal A, Shurulinkov P, Tomás G, Sol D, Hagen J,  
456 López P, Martín J, Navarro C, Torres J (2004) Double gametocyte infections in apicomplexan  
457 parasites of birds and reptiles. Parasitol Res 94: 155–157  
458
- 459 Khan RAD, Forrester DJ, Goodwin TM, Ross CA (1980) A hemogregarine from the American  
460 alligator (*Alligator mississippiensis*). J Parasitol 66: 324-328  
461
- 462 Lainson R (1981) On *Cyrilia gomesi* (Neiva and Pinto, 1926) gen. nov. (Haemogregarinidae)  
463 and *Trypanosoma bourouli* Neiva and Pinto, in the fish *Synbranchus marmoratus*: simultaneous  
464 transmission by the leech *Haementeria lutzi*. 150-158. In: Canning EU (ed) Parasitological  
465 topics. (Society of Protozoologists special publication 1) Society of Protozoologists, London  
466
- 467 Lainson R, Paperna I, Naiff RD (2003) Development of *Hepatozoon caimani* (Carini, 1909)  
468 Pessôa, De Biasi e De Souza, 1972 in the Caiman *Caiman c. crocodilus*, the Frog *Rana*  
469 *catesbeiana* and the Mosquito *Culex fatigans*. Mem Inst Oswaldo Cruz 98: 103-113  
470
- 471 Landau I, Michel JC, Chabaud AG (1972) Cycle biologique d' *Hepatozoon domerguei*;  
472 discussion sur les caractères fondamentaux d'un cycle de Coccidie. Z Parasitenk 38: 250-270  
473
- 474 Mathew JS, Van Den Bussche RA, Ewing SA, Malayer JR, Latha BR, Panciera RJ (2000)  
475 Phylogenetic relationships of *Hepatozoon* (Apicomplexa: Adeleorina) based on molecular,  
476 morphologic, and life-cycle characters. J Parasitol 86: 366–372  
477
- 478 McCallum H, Barlow N, Hone J (2001) How should pathogen transmission be modelled?  
479 Trends Ecol Evol 16: 295-300  
480
- 481 Mihalca A, Achelariu D, Popescu P (2002) Haemoparasites of the genus *Haemogregarina* in a  
482 population of european pond turtles (*Emys orbicularis*) from Drăgășani, Vâlcea county,  
483 Romania. Sci Parasitol 2: 22-27  
484
- 485 Mihalca AD, Racka K, Gherman C, Ionescu DT (2008) Prevalence and intensity of blood  
486 apicomplexan infections in reptiles from Romania. Parasitol Res 102: 1081–1083

- 487
- 488 Miller WW (1908) Preliminary Note of a New Pathogenic Hæmogregarine, *Hepatozoön*  
489 Perniciosum, Found in White Rats in Washington, D. C. Public Health Rep 23: 1070-1071
- 490
- 491 Moço TC, O'Dwyer LH, Vilela FC, Barrella TH, Silva RJ (2002) Morphologic and  
492 Morphometric Analysis of *Hepatozoon* spp. (Apicomplexa, Hepatozoidae) of Snakes Mem Inst  
493 Oswaldo Cruz 97: 1169-1176
- 494
- 495 O'Dwyer LH, Moço TC, Barrella TH, Vilela FC, Silva RJ (2003) Prevalence of *Hepatozoon*  
496 spp. (Apicomplexa, Hepatozoidae) among recently captured Brazilian snakes. Arq Bras Med  
497 Vet Zootec 55:
- 498
- 499 O'Dwyer LH, Moço TC, Silva RJ (2004) Description of the gamonts of a small species of  
500 *Hepatozoon* sp. (Apicomplexa, Hepatozoidae) found in *Crotalus durissus terrificus* (Serpentes,  
501 Viperidae). Parasitol Res 92: 110–112
- 502
- 503 Pereira GR, Soares P, Gomes MQ, Viana LA, Manso PPA, Machado MP, Paiva P, Lourenço-  
504 de-Oliveira R (2014) Are fish paratenic natural hosts of the caiman haemoparasite *Hepatozoon*  
505 *caimani*? Parasitol Res 13: 39-45
- 506
- 507 Perkins SL, Keller AK (2001) Phylogeny of nuclear small subunit rRNA genes of  
508 hemogregarines amplified with specific primers. J Parasitol 87:870-876
- 509
- 510 Pessôa SB, De Biasi, Souza DM (1972) Esporulação do *Hepatozoon caimani* (Carini, 1909),  
511 parasite do jacaré-de-papo-amarelo: *Caiman latirostris* Daud, no *Culex dolosus* (L.  
512 Arribálzaga). Mem Inst Oswaldo Cruz 70: 379-383
- 513
- 514 Pessôa SB, De Biasi P, Puerto G (1974) Transferencia do *Hepatozoon tupinambi* parasita do  
515 lagarto *Tupinambis teguixin*, para a serpente cascavel (*Crotalus durissus terrificus*) por  
516 intermédio de mosquito *Culex fatigans*. Mem Inst Oswaldo Cruz 72:295-299
- 517
- 518 Poulin R (1993) The disparity between observed and uniform distributions: a new look at  
519 parasite aggregation. Int J Parasitol 23: 937-944
- 520
- 521 Rozsa L, Reiczigel J, Majoros G (2000) Quantifying parasites in samples of hosts. J Parasitol  
522 86: 228-232
- 523

- 524 Sailasuta A, Satetasit J, Chutmongkonkul M (2011) Pathological Study of Blood Parasites in  
525 Rice Field Frogs, *Hoplobatrachus rugulosus* (Wiegmann, 1834) Veterinary Medicine  
526 International 2011: 1-5 (doi:10.4061/2011/850568)
- 527
- 528 Sambrook J, Russel DW (2001) Molecular Cloning – a laboratory manual. 3a ed. Cold spring  
529 harbor laboratoty press, New York
- 530
- 531 Scott ME (1988) The impact of infection and disease on animal populations: implications for  
532 conservation biology. Cons Biol 2: 40-55
- 533
- 534 Siddall ME, Desser SS (1991) Merogonic development of Haemogregarina balli (Apicomplexa:  
535 Adeleina: Haemogregarinidae) in the leech *Placobdella ornata* (Glossiphoniidae), its  
536 transmission to a chaelonian intermediate host and phylogenetic implications. J Parasitol 77:  
537 426-436
- 538
- 539 Siddall ME (1995) Phylogeny of adeleid blood parasites with a partial systematic revision of the  
540 haemogregarine complex. J. Eukaryot Microbiol 42: 116–125
- 541
- 542 Široký P, Kamler M, Modrý D (2004) Long-term occurrence of *Hemolivia* cf. *mauritanica*  
543 (Apicomplexa: Adeleina: Haemogregarinidae) in captive *Testudo marginata* (Reptilia:  
544 Testudinidae): evidence for cyclic merogony? J Parasitol 90:1391-1393
- 545
- 546 Smith TG, Desser SS, Martin DS (1994) The development of *Hepatozoon sipedon* sp. nov.  
547 (Apicomplexa: Adeleina: Hepatozoidae) in its natural host, the Northern water snake  
548 (*Nerodia sipedon sipedon*), in the culicine vectors *Culex pipiens* and *C. territans*, and in  
549 an intermediate host, the Northern leopard frog (*Rana pipiens*). Parasitol Res 80:559-568
- 550
- 551 Smith TG, Desser SS (1997) Phylogenetic analysis of the genus *Hepatozoon* Miller, 1908  
552 (Apicomplexa: Adeleorina). Syst Parasitol 36: 213-221
- 553
- 554 Sloboda M, Kamler M, Bulantová J, Votýpka J, Modrý D (2007) A new species of *Hepatozoon*  
555 (Apicomplexa: Adeleorina) from *Python regius* (Serpentes: Pythonidae) and its experimental  
556 transmission by a mosquito vector. J Parasitol 93:1189-1198
- 557
- 558 SYSTAT (2007) Systat 12 for windows. Richmond, California
- 559

- 560 Telford Jr SR (1984) Haemoparasites of reptiles. In: Huff GI, Frye F, Jacobson ER  
561 (Eds.), Diseases of Amphibians and Reptiles, Plenum Press, New York
- 562
- 563 Telford Jr SR, Wozniak EJ, Butler JF (2001) Haemogregarine specificity in two  
564 communities of Florida snakes, with descriptions of six new species of *Hepatozoon*  
565 (Apicomplexa: Hepatozoidae) and a possible species of *Haemogregarina* (Apicomplexa:  
566 Haemogregarinidae). *J Parasitol* 87: 890-905
- 567
- 568 Telford Jr SR (2008) Hemoparasites of the Reptilia: color atlas and text. CRC Press
- 569
- 570 Ujvari B, Madsen T, Olsson M (2004) High Prevalence of *Hepatozoon* spp. (Apicomplexa,  
571 Hepatozoidae) infection in water pythons (*Liasis fuscus*) from tropical Australia. *J Parasitol* 90:  
572 670-672
- 573
- 574 Viana LA, Marques EJ (2005) Haemogregarine parasites (Apicomplexa: Hepatozoidae) in  
575 *Caiman crocodilus yacare* (Crocodilia: Alligatoridae) from Pantanal, Corumbá, MS, Brazil.  
576 *Rev Bras Parasitol Vet* 14: 173-175
- 577
- 578 Viana LA, Paiva F, Coutinho ME, Lourenço-de-Oliveira R (2010) *Hepatozoon caimani*  
579 (Apicomplexa: Hepatozoidae) in wild caiman, *Caiman yacare*, from the Pantanal region, Brazil.  
580 *J Parasitol* 96: 83–88
- 581
- 582 Viana LA, Soares P, Silva JE, Paiva F, Coutinho ME (2012) Anurans as paratenic hosts in the  
583 transmission of *Hepatozoon caimani* to caimans *Caiman yacare* and *Caiman latirostris*.  
584 *Parasitol Res* 110: 883-886
- 585
- 586 Woo PTK (1969) The haematocrit centrifuge for the detection of trypanosomes in blood. *Can J*  
587 *Zoo* 47: 921-923
- 588
- 589 Wozniak EJ, Telford Jr SR (1991) The fate of possibly two *Hepatozoon* species naturally  
590 infecting Florida black racers and watersnakes in potential mosquito and soft tick vectors:  
591 histological evidence of pathogenicity in unnatural host species. *Int J Parasitol* 21: 511-516
- 592
- 593 Wozniak EJ, McLaughlin GL, Telford Jr SR (1994a) Description of the vertebrate stages of a  
594 hemogregarine species naturally infecting Mojave Desert sidewinder rattlesnakes (*Crotalus*  
595 *cerastes cerastes*). *J Zoo Wildl Med* 25: 103-110
- 596

597 Wozniak EJ, Telford Jr SR, McLaughlin GL (1994b) Employment of the polymerase chain  
598 reaction in the molecular differentiation of reptilian hemogregarines and its applications to  
599 preventative zoological medicine. J Zoo Wildl Med 25: 538-547

600

601 Wozniak EJ, Kazacos KR, Telford Jr SR, McLaughlin GL (1996) Characterization of the  
602 clinical and anatomical pathological changes associated with *Hepatozoon mocassini* Infections  
603 in unnatural reptilian hosts. Int J Parasitol 26: 141-146

604

605

606

607

608

609 Tabela 1. Dados morfométricos de gametócitos intra e extraeritrocíticos de *H. caimani*, parasito de *C. yacare*. CG: comprimento de gametócitos; L.G:  
 610 Largura de gametócitos; A.G: Área do gametócito; C.N: Comprimento do núcleo; L.N: Largura do núcleo; A.N: Área do núcleo. Medidas lineares em  
 611 µm e medidas de áreas em µm<sup>2</sup>

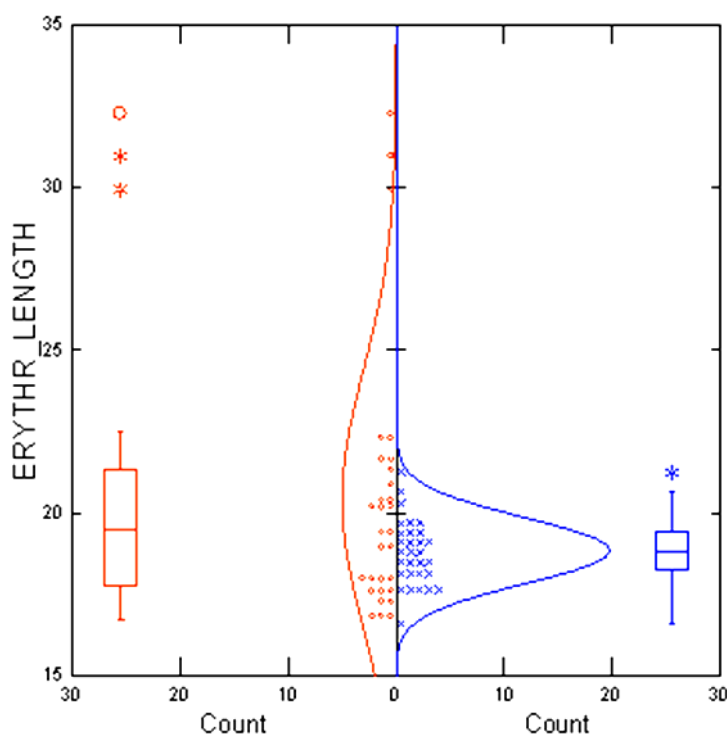
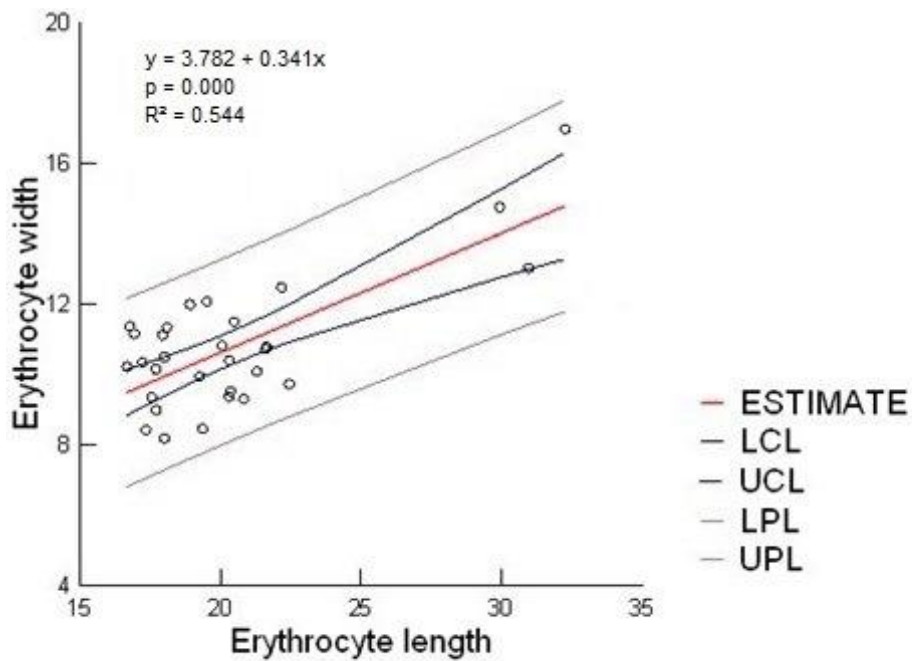
Intraeritrocíticos						Extraeritrocíticos						
Gametócitos			Núcleo			Gametócitos			Núcleo			
	CG	L.G	A.G	C.N	L.N	A.N	CG	L.G	A.G	C.N	L.N	A.N
<b>DP</b>	1,797	1,001	4,588	1,674	1,038	3,445	3,378	0,650	7,159	1,627	0,721	3,917
<b>Média</b>	12,449	4,111	29,922	5,895	3,080	16,150	23,891	2,809	50,689	7,027	2,752	18,002
<b>Mín.</b>	8,860	2,200	22,585	2,410	1,403	10,518	14,674	1,251	31,274	2,806	1,073	10,254
<b>Máx.</b>	22,274	8,318	52,082	12,873	6,025	32,453	34,183	6,292	77,127	13,225	6,455	31,229

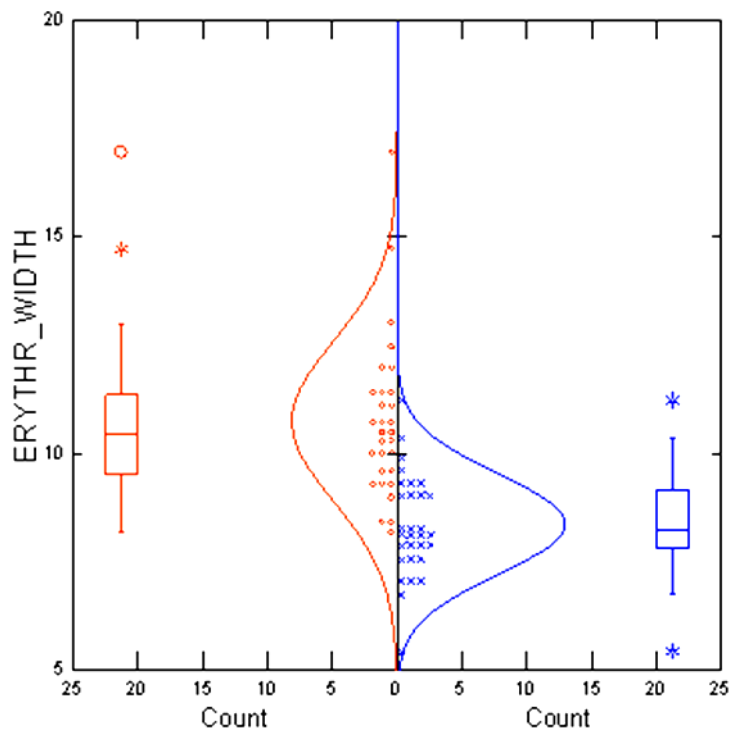
620  
 621 Tabela 2. Dados morfométricos de merontes, merozoítos, cisto e cistozoíto de *H. caimani*, observados em tecidos de *C. yacare*. Comp.: comprimento  
 622 das formas; Larg.: largura; V.P.: vacúolo parasitário; E.P.: espessura da parede. Medidas lineares em µm e medidas de áreas em µm<sup>2</sup>

Merontes				Merozoítos			Cistos				Cistozoítos			
	Comp.	Larg.	Área		Comp.	Larg.	Área		Comp.	Larg.	Área			
<b>DP</b>	3,450	5,449	6,585	0,731	2,689	0,723	5,170	0,997	2,470	4,065	1,645	6,394	1,252	15,150
<b>Média</b>	34,159	22,024	92,875	2,879	25,872	4,107	54,397	33,519	31,952	100,840	2,120	19,510	4,809	45,061
<b>Mín.</b>	29,484	14,550	85,395	2,457	23,818	3,442	49,560	32,665	30,139	98,066	0,688	12,271	3,404	24,123
<b>Máx.</b>	37,459	24,409	100,737	3,971	28,915	4,876	59,845	34,615	34,765	105,506	3,977	26,580	6,261	59,559

629 Tabela 3. Dados morfométricos de oocistos, esporocistos e estruturas semelhantes a rosetas, observadas em sanguessugas *P. ornata* encontradas  
 630 aderidas em *C. yacare*. Comp.: comprimento das formas; Larg.: largura; E.P.: espessura da parede. Medidas lineares em  $\mu\text{m}$  e medidas de áreas em  $\mu\text{m}^2$ .  
 631  
 632

Oocistos				Eспороcистos			“Rosetas”			633
	Comp.	Larg.	Área	E.P.	Comp.	Larg.	Área	Comp.	Larg.	Área
<b>DP</b>	373,211	213,265	1.138,743	0,051	5,425	4,873	15,466	6,756	6,183	22,160
<b>Média</b>	814,503	449,087	2.256,207	2,701	18,775	18,817	58,610	21,078	17,799	63,589
<b>Mín.</b>	393,454	309,800	1.196,271	2,670	13,283	14,339	44,411	13,730	9,617	35,727
<b>Máx.</b>	1.119,809	694,603	3.460,271	2,759	24,145	25,805	76,260	29,018	26,626	84,768

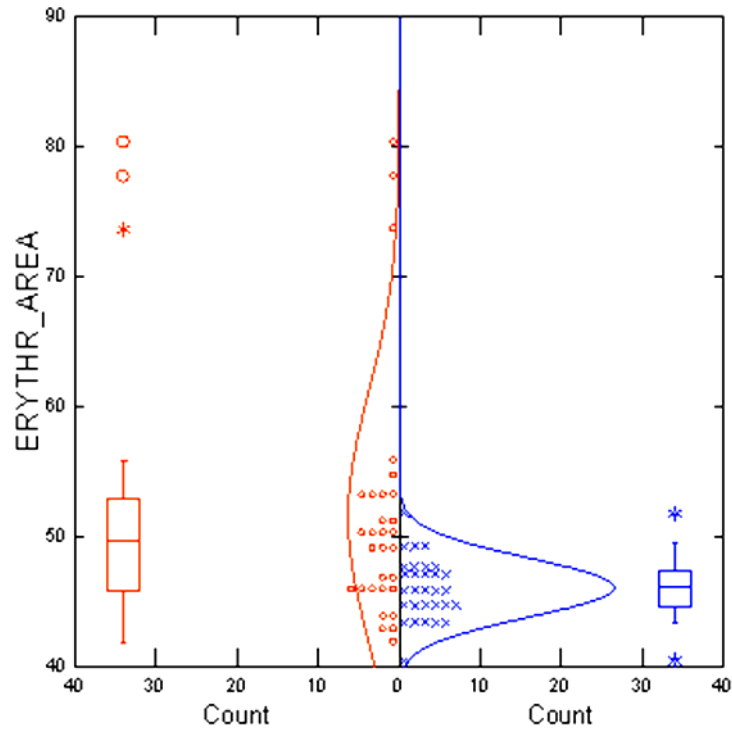




645

646

647 **Figura 3.** Comparação entre as médias da largura das hemácia  
648 nãoparasitadas por *H. caiman* (o) e

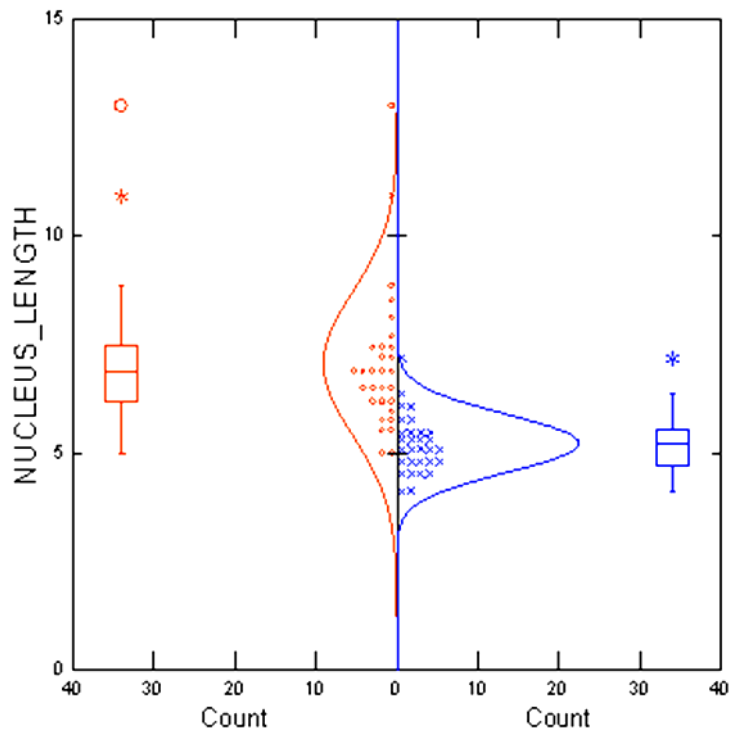


649

650

651 **Figura 4.** Comparação entre as médias da área das hemácia  
652 nãoparasitadas por *H. caiman* (o) e

653

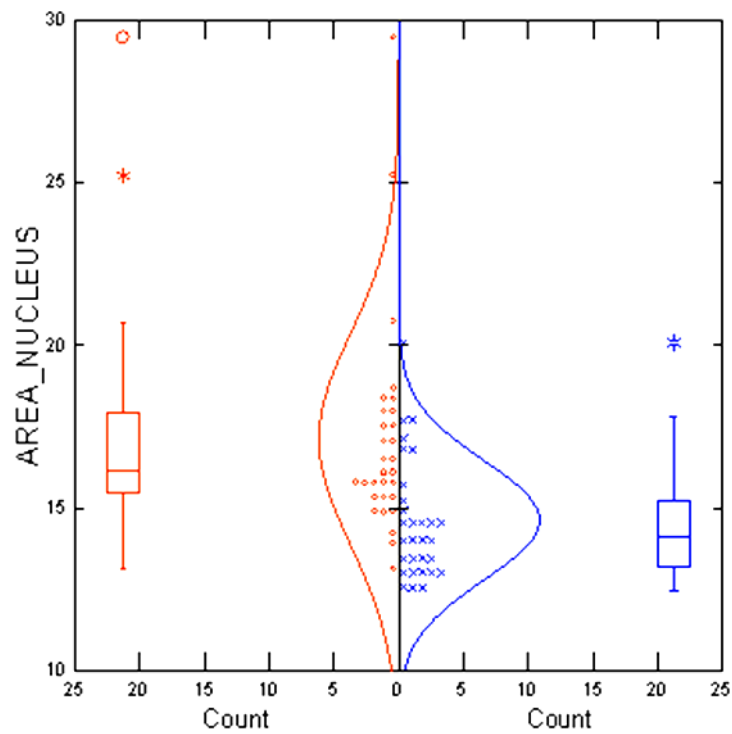


654

655

**Figura 5.** Comparação entre as médias do comprimento nuclear das hemácia parasitadas por *H. caimani* (o) e não parasitadas (x).  $P: 0.000$ ;  $z: 5.685$ .

658

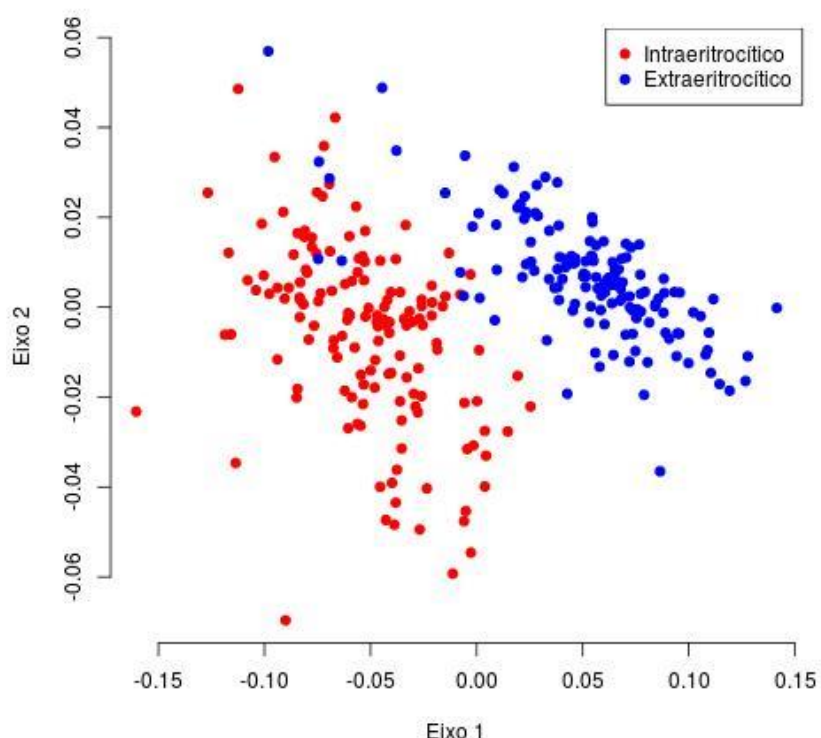


659

660

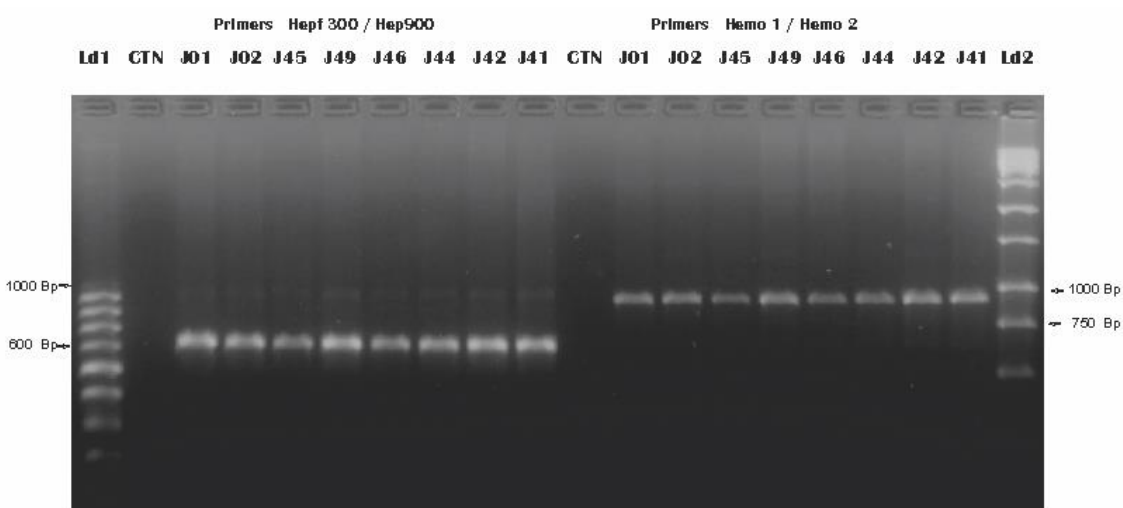
**Figura 6.** Comparação entre as médias da área nuclear das hemácia parasitadas por *H. caimani* (o) e não parasitadas (x).  $P: 0.000$ ;  $z: 3.663$ .

662



663

664 **Figura 7.** Análise de componentes principais (PCA) entre gametócitos intra e extraeritrocíticos  
665 de *H. caimani* em *C. yacare* naturalmente infectados.  
666



667

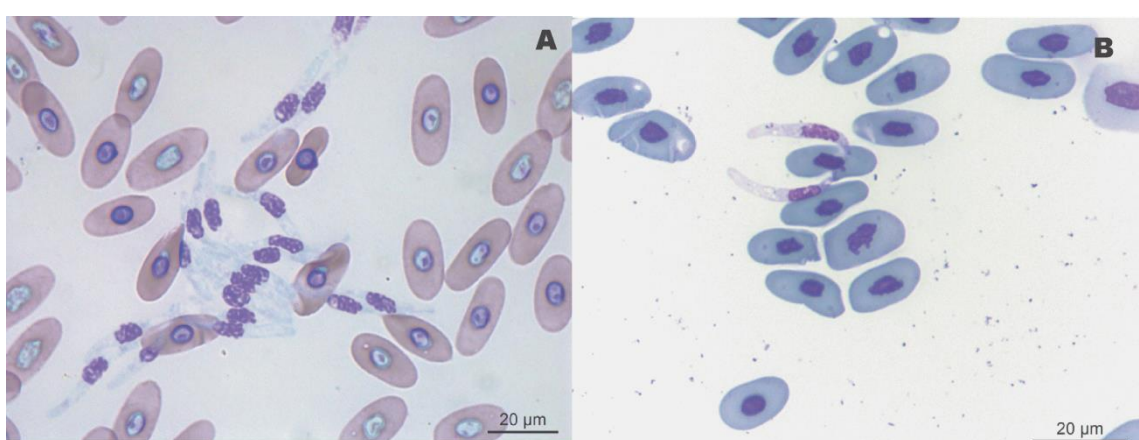
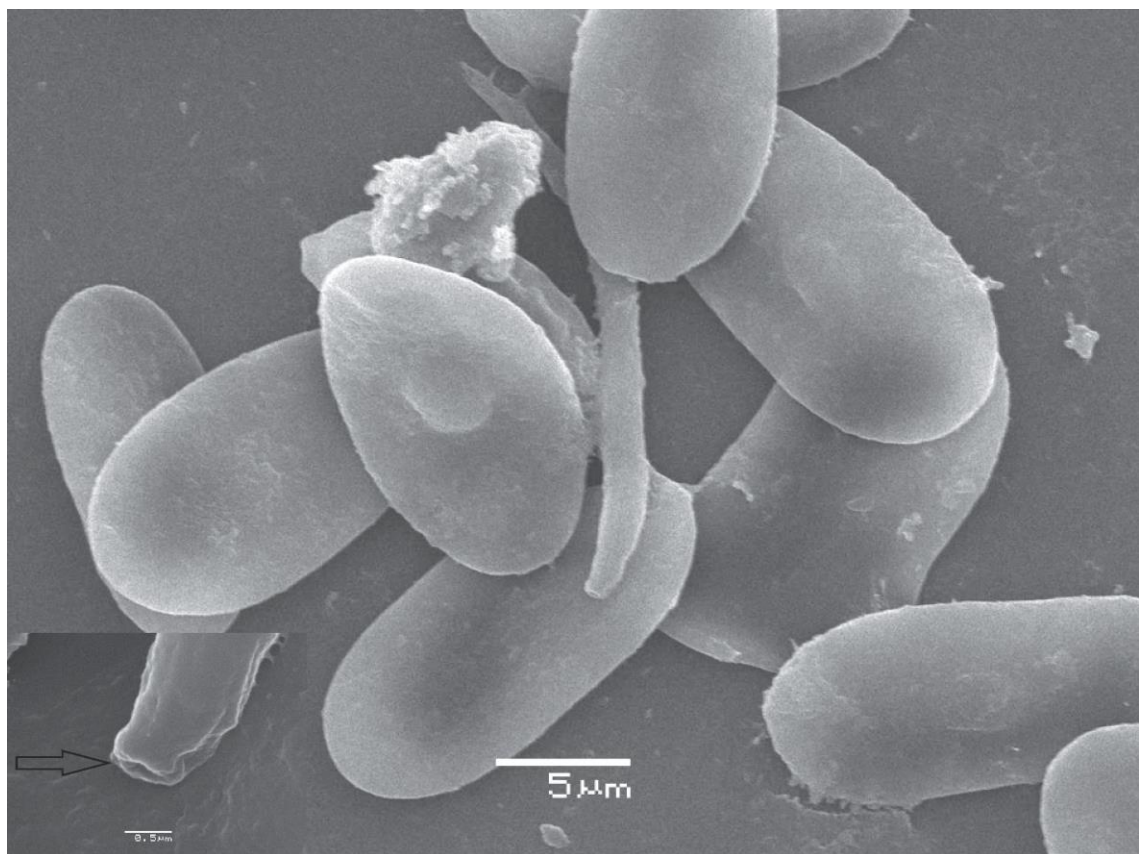
668

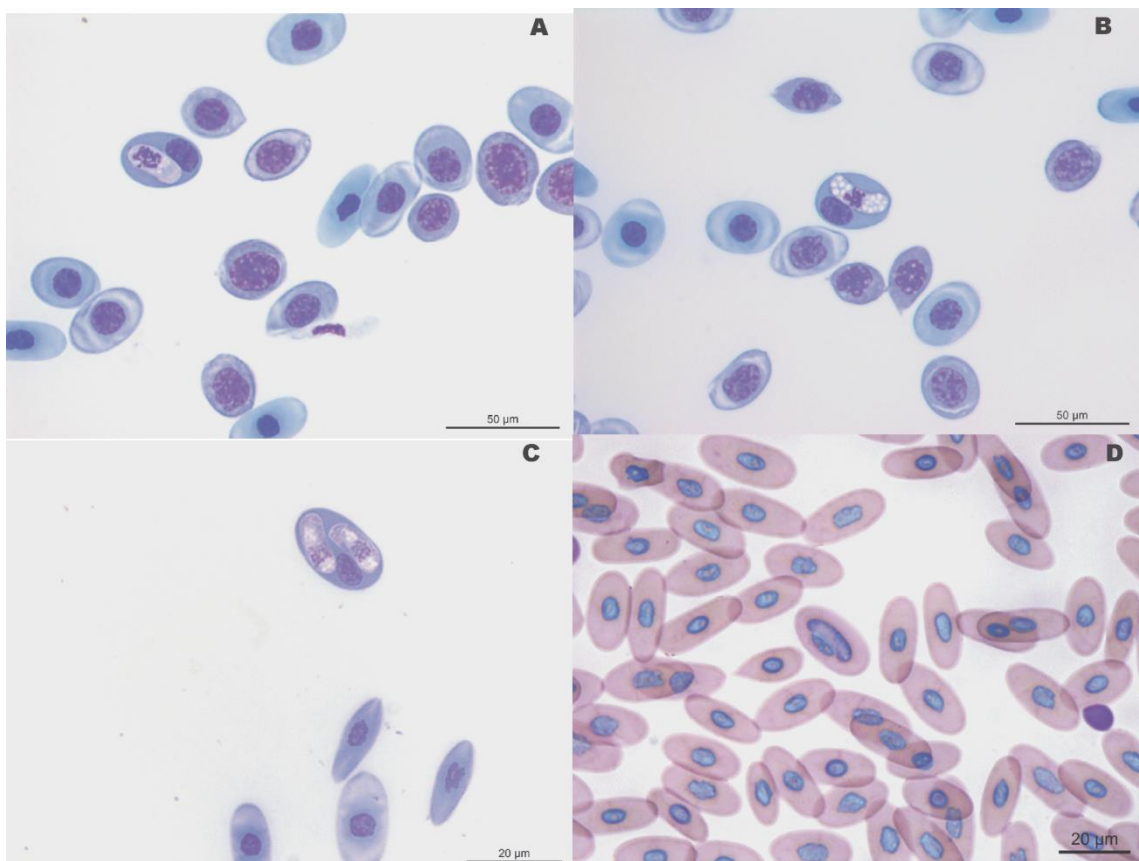
669 **Figura 8.** Eletroforese em gel de agarose, 1,5 %, dos produtos da amplificação parcial, por  
670 PCR, do gene 18S rRNA de *Hepatozoon*, em sangue periférico de *C. yacare*. Poços: 1 e 20  
671 (Ld1 e Ld2) aos marcadores moleculares, respectivamente 100 e 1Kbp; 2 e 11 (CTN) controles  
672 negativos; 3 a 10 amplificações realizadas com conjuntos de primers HepF300/Hep900, 11 a 19  
673 amplificações com conjunto de primers Hemo1/Hemo2.  
674

675

676

677

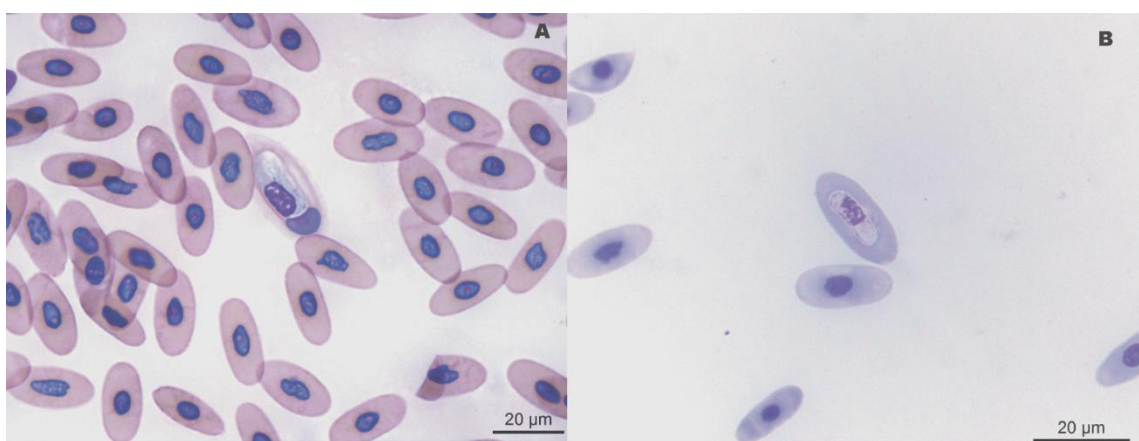




696  
697

698 **Figura 11.** Gametócitos intraeritrocíticos de *H. caimani* observados em sangue periférico de *C. yacare*.  
699 Morfologia alongada, não recurvada, cromatina nuclear condensada e prolixa (A),  
700 citoplasma com eventuais vacúolos (B), presença de mais de um gametócito por célula, vacúolo  
701 parasitário eritrocítico (C) e formas encapsuladas (D).

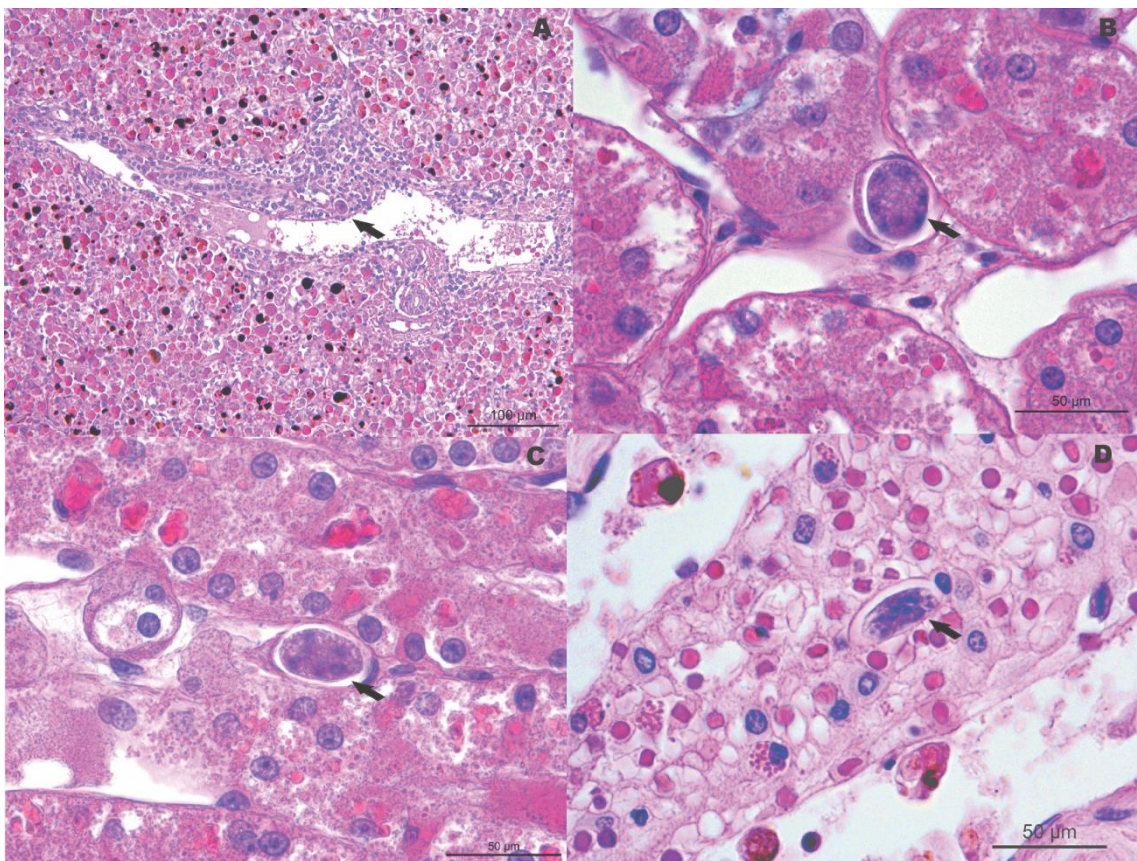
702  
703



704  
705

706 **Figura 12.** Alterações hipertróficas em células parasitadas por gametócitos intraeritrocíticos de  
707 *H. caimani* observados em sangue periférico de *C. yacare*. Deslocamento do núcleo celular para  
708 a extremidade (A) e ausência do mesmo (B).

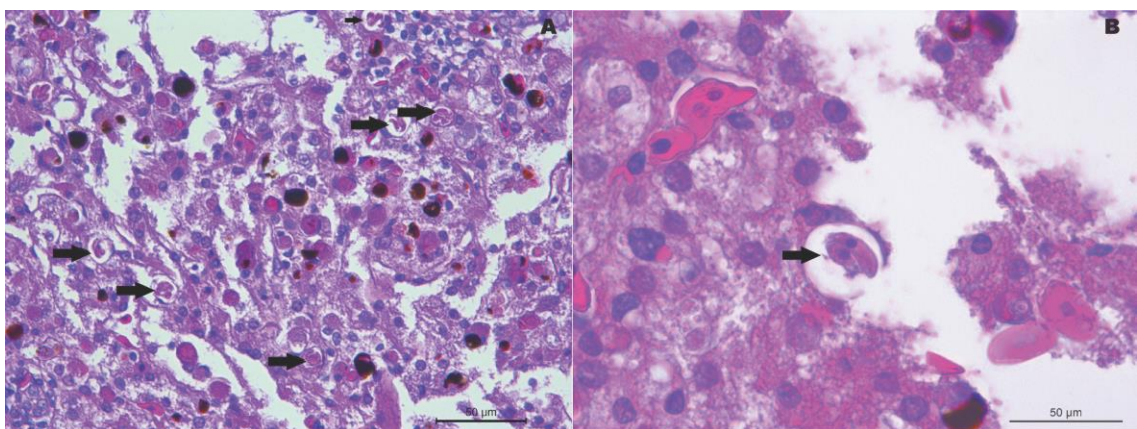
709  
710



711  
712

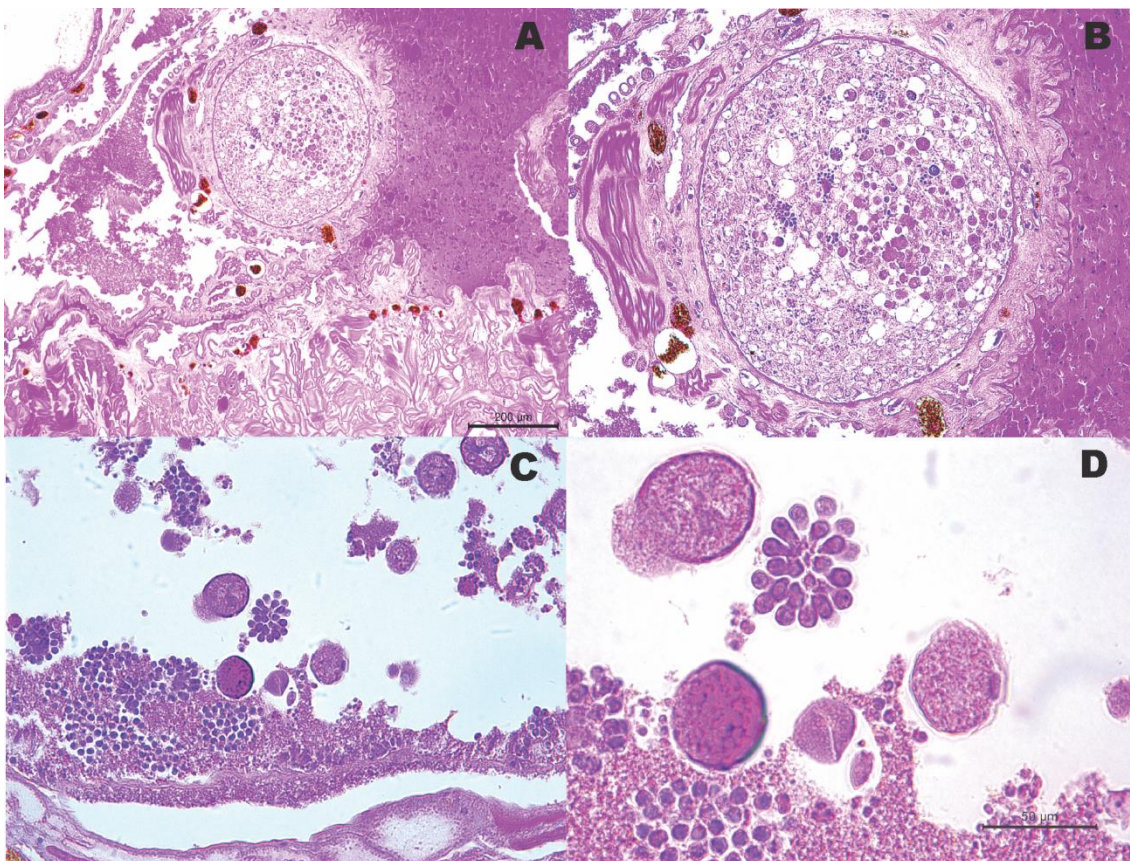
713 **Figura 13.** Cortes histológicos de *C. yacare*, corado com hematoxilina e eosina. Merontes  
714 (setas) entre ductos renais (B), em fígado (C e D) próximo aos vasos (A).

715  
716  
717



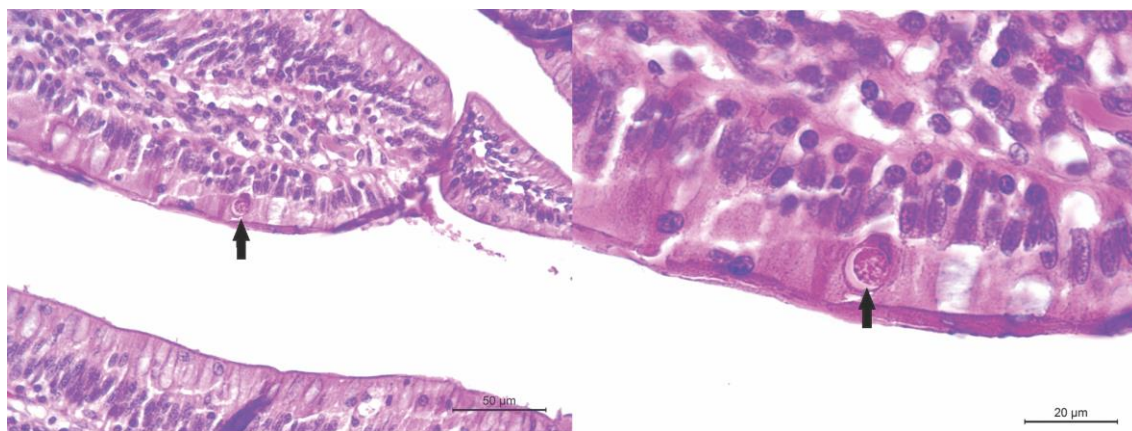
718  
719

720 **Figura 14.** Cortes histológicos de pulmão de *C. yacare*, presença de cistos contendo cistozoítos  
721 (setas) no parênquima pulmonar (A e B). Coloração de hematoxilina e eosina.  
722  
723



724  
725  
726  
727  
728  
729

**Figura 15.** Oocisto contendo esporocistos e estruturas semelhantes a rosetas, presentes em *Placobdella ornata*. Coloração: hematoxilina e eosina (A, B, C e D).



730  
731

**Figura 16.** Macrogametócito jovem de coccídeo não identificado (seta), presente em célula epitelial do intestino delgado de *C. yacare*. Coloração: hematoxilina e eosina (A e B).

734  
735  
736  
737  
738  
739  
740  
741

742 Anexo I

743  
744 Alinhamento: primer HEMO1  
745  
746

747 . . . | . . . | . . . | . . . | . . . | . . . | . . . | . . . | . . . | . . . | . . . | . . . |  
748 5 15 25 35 45 55  
749 MT-462\_897 TRSKTKSRRT WTCTAGSCAT ATGCTGCTAT AAATACAAGG TGAATTCTTA GATGGATCAA  
750 MT-462\_897 GASKKKSSRT WKCTAGSCAA ATRCTGCTAC TGTACAAGGT AAATAATTAA CGGGATCACT  
751 MT-462\_897 GSKGGGCSGR TTSKRGMCTT TGCTGCTACT GTAGAGGTGA ATTCTTAGAT TTGTCAAAGA  
752 MT-462\_897 GASKKKSSKG TTKSKRAKSC TTATRCTGCT ACTGTACAAG GTAAATTCTT TACCGGATCA  
753 MT-462\_898 GASTKKSRKK TWKSTRAGRC AATGCTGCTA TTGTACAGGG TGAATTATTT AGATGGGTCA  
754 MT-462\_898 AMGKKKSSRT WTCTRGGCTT ATGCTGCTAC TGTACAAGGT GAATTATTAA GC GGATCAA  
755 MT-462\_898 CWTTCGKGAK ACAAAATGCW TGCTAATWAA TACRGGCTAA ATAATT TACC GGATCAATCA  
756 MT-462\_898 AAAMGKKSCG KTWKSWRAGA AAWATGCATG CTATTGTACA GKCTAAATAA TTTACCGGAT  
757 . . . | . . . | . . . | . . . | . . . | . . . | . . . | . . . | . . . | . . . | . . . | . . . |  
758 65 75 85 95 105 115  
759 760 MT-462\_897 AGACWCACTA CTGCCAACGG GTGGYGTGTA CWAAGGGCAG GGACCWAGTC MACGCAAGCT  
761 MT-462\_897 CACACACTAC TGCCAAACGGG TGGYGTGTAC TAAGGGCAGG GACGTAATCA ACGCAAGCTG  
762 MT-462\_897 CACACTACTG CCAAAGGGTG GGTGTGCTAA GGGAGGGACG TAGTCCACGC AAGCTGATGA  
763 MT-462\_897 CAGACACACT ACTGCCAACG GGTGGTGTGT GCTAAGGGCA GGGACCTAGT CAACGCAAGC  
764 MT-462\_898 CTGACTCACT ACTGCCAACG GGTGGTGTGT ACWAAGGGCA GGGACGTAAT CAACGCAAGC  
765 MT-462\_898 GACTCACTAC TGCCAAACGGG TGGTGTGTAC WAAGGGCAGG GACGTAATCA ACGCAAGCTG  
766 MT-462\_898 ATCACTACTG CCAACGGGCG GTGTGTACAA TGTTCAGGGA CCWAGAAAAC GCAAGCTGAT  
767 MT-462\_898 CACTCAATCG GACTGCCWAC GGGTGGTGTG TACWAAGGGC AGGGACGTA TCMACGCAAG  
768 . . . | . . . | . . . | . . . | . . . | . . . | . . . | . . . | . . . | . . . | . . . | . . . |  
769 125 135 145 155 165 175  
770 771 MT-462\_897 GATGACTTGC GCTTACTAGG CATTCTCGT TAAAGATTAA TAATTACAAT AATCTATCCC  
772 MT-462\_897 ATGACTTGC GCTTACTAGGC ATTCTCTCGT AAAGATTAA AATTACAATA ATCTATCCCC  
773 MT-462\_897 CTTGCGCTTA CTAGGCATTC CTCGTTAAAG ATTAATAATT ACAATAATCT ATCCCCATCA  
774 MT-462\_897 TGATGACTTG CGCTTACTAG GCATTCTCG TTAAAGATTAA ATAATTACAA TAATCTATCC  
775 MT-462\_898 TGATGACTTG CGCTTACTAG GCATTCTCG TTAAAGATTAA ATAATTACAA TAATCTATCC  
776 MT-462\_898 ATGACTTGC GCTTACTAGGC ATTCTCTCGT AAAGATTAA AATTACAATA ATCTATCCCC  
777 MT-462\_898 TCTTGCCTT ACTAGGCATT CCTCGTCWAA GATTAATAAT TACGATAATC TATCCCCGTC  
778 MT-462\_898 CTGATGACTT GCGCTTACTA GGCATTCTC GTTAAAGATT AATAATTACA ATAATCTATC  
779 . . . | . . . | . . . | . . . | . . . | . . . | . . . | . . . | . . . | . . . | . . . | . . . |  
780 185 195 205 215 225 235  
781 782 MT-462\_897 CATCACAAATG CACATTCAAA AGATTACCTA AGCTTACCAAG CCAAGGYTAT AAACTTGTTG  
783 MT-462\_897 ATCACAAATGC ACATTCAAAA GATTACCTAA GCTTACCAAGC CAAGGTTATA AACTTGTGTTG  
784 MT-462\_897 CAATGCACAT TCAAAAGATT ACCTAAGCTT ACCAGCCAAG GTTATAAACT TGTTGGATGC  
785 MT-462\_897 CCATCACAAAT GCACATTCAA AAGATTACCT AAGCTTACCA GCCAAGGTTA TAAACTTGTG  
786 MT-462\_898 CCATCACAAAT GCACATTCAA AAGATTACCT AAGCTTACCA GCCAAGGTTA TAAACTTGTG  
787 MT-462\_898 ATCACAAATGC ACATTCAAAA GATTACCTAA GCTTACCAAGC CAAGGYTATA AACTTGTGTTG  
788 MT-462\_898 ACAATGCTTT TTCAAAAGAT TACCTAAGCT TACCAGCCAA GGCTATRAAC TTGTTGGATG  
789 MT-462\_898 CCCATCACAA TGCACATTCA AAAGATTACC TAAGCTTACCA AGCCAAGGTT ATRAACTTGT  
790 . . . | . . . | . . . | . . . | . . . | . . . | . . . | . . . | . . . | . . . | . . . | . . . |  
791 245 255 265 275 285 295  
792 793 MT-462\_897 GATGCATCAT TGTTGCGCGC GWGCMGCCCA CAACATCTAA GGGCMTCACA GACCTGTYAT  
794 MT-462\_897 ATGCATCATT GTTGCAGCG TGCMGSCCAAG AACATCTAA GGCMTCACAG ACCTGTYATT  
795 MT-462\_897 ATCATTGTAG CGCGCGTGC GSCCAGAAC TCTAAGGGCA TCACGGACCT GTTATTGCCT  
796 MT-462\_897 GGATGCATCA TTGTTGCGCG CGTGCAGGCCCA ACAACATCTA AGGGCATCAC AGACCTGTYA  
797 MT-462\_898 GGATGCATCA TTGTTGCGCG CGTGCAGGCCCA AGAACATCTA AGGGCATCAC AGACCTGTYA  
798 MT-462\_898 ATGCATCAWT GTAGCGCGCG AGCMGSCCAAG AACATCTAA GGCMTCACAG ACCTGTYATT  
799 MT-462\_898 CATCATTGTA GCKCGCRAGG ATGACACAAC ATCTAAGGGC ATCACAGACC TGTYATTGCC

800 MT-462\_898 TGGATGCATC ATTGTAGCGC GCGWGCMGCC CAGAACATCT AAGGGCATCA CAGACCTGTY  
801  
802 . . . | . . . | . . . | . . . | . . . | . . . | . . . | . . . | . . . |  
803 305 315 325 335 345 355  
804 MT-462\_897 TGCCCTAAAC TTCCTTGCCT TAAACACGCA AAGYCCTCT AAGAAGYAAT TCAAAAACAA  
805 MT-462\_897 GCCTCAAAC TCCTTGCCTT AAACACGCAA AGTCCTTCTA AGAAGTAATT TAAAAACAAA  
806 MT-462\_897 CGAACTTCCT TGCCTTAAAC ACGCAAAGTC CTTCTAAGAA GTAATTAAA AACAAATGTT  
807 MT-462\_897 TTGCCTCAA CTTCTTGCCT TTAAACACGC AAAGTCCTTC TAAGAAGTAA TTTAAAACA  
808 MT-462\_898 TTGCCTCAA CTTCTTGCCT TTAAACACGC AAAGTCCTTC TAAGAAGTAA TTTAAAACA  
809 MT-462\_898 GCCTCAAAC TCCTTGCCTT AAACACGCAA AGTCCTTCTA AGAAGYAATT CAAAAACAAA  
810 MT-462\_898 TCAAACATTCC TTGCCTTAAAC CACGCAAAGY CCTCTTAAGA AGYAATTAA AAACAAATGT  
811 MT-462\_898 ATTGCCTCAA ACTTCCTTGC KWWWAACACG CAAAGYCCTT CTAAGAAGYA ATTCAAAAAC  
812  
813 . . . | . . . | . . . | . . . | . . . | . . . | . . . | . . . | . . . |  
814 365 375 385 395 405 415  
815 MT-462\_897 ATGTGTTAA CCCTATTAG CAGGCTAAGG TCTCGCTCTG TAACGGAATT AACAGACAA  
816 MT-462\_897 TGTTTTAAC CCTATTAGC AGGTTAAGGT CTCGCTCGTT AACGGAATT ACCAGACAAA  
817 MT-462\_897 TTTAACCTA TTTAGCGGGT TAAGGTCTCG CTCGTTAACG GAATTAACCA GACAAATCAC  
818 MT-462\_897 AATGTTTTA ACCCTATTAA GCAGGCTAAG GTCTCGCTCG TTAACGGAAT TCACCAGACA  
819 MT-462\_898 AATGTTTTA ACCCTATTAA GCAGGCTAAG GTCTCGCTCG TTAACGGAAT TAACCAGACA  
820 MT-462\_898 TGTTTTAAC CCTATTAGC AGGCTAAGGT CTCGTTCGTT AACGGAATT ACCAGACWAA  
821 MT-462\_898 TTTAACCTT ATTAGCACG CTAAGGTCTC GCTCGGGAAC GGAATTCAAGC AGACWAATCA  
822 MT-462\_898 AAATGTGTTT AACCTATTAA AGCAGGCTWA GGTCTCGTTC GGKAACGGAA TTCACCAGAC  
823  
824 . . . | . . . | . . . | . . . | . . . | . . . | . . . | . . . | . . . |  
825 425 435 445 455 465 475  
826 MT-462\_897 ATCACTCCAC CAACTAAGAA CGGCCATGCA CCACCRCCC YAGAATTGAG AWAGAGCTGT  
827 MT-462\_897 TCACTCCACC AACTAAGAAC GGCCATGCAC CACCRCCCA AGAATTRAGA AAGAGCTGTC  
828 MT-462\_897 TCCACCAACT AAGAACGGCC ATGCACCACC ACCCATAGAA TTAAGAAAGA GCTGTCAATC  
829 MT-462\_897 AATCACTCCA CCAACTAAGA ACGGCCATGC ACCACCRCCC AYAGAATTAA GAAAGAGCTG  
830 MT-462\_898 AATCACTCCA CCAACTAAGA ACGGCCATGC ACCACCRCCC AYAGAATTRAA GAAAGAGCTG  
831 MT-462\_898 TCACTCCACC AACTAAGAAC GGCCATGCAC CACCRCCCA AGAATTRAGA WAGAGCTGTC  
832 MT-462\_898 CTCCACCAAC TAAGTACGGC CAGKCACCAAC CACCMAYAGA AGTRAGAAAG AGCTGTCAAT  
833 MT-462\_898 AAATCACTCC ACCRACTAAG AACGGCCATG CACCACCRCC CAYAGAAKTR AGCWAGAGCT  
834  
835 . . . | . . . | . . . | . . . | . . . | . . . | . . . | . . . | . . . |  
836 485 495 505 515 525 535  
837 MT-462\_897 CAATCTGTCA ATCCTWTCTA TGTCTGGACC TGGCGAGTTT TCACGTGTTG AGTCAAATTAA  
838 MT-462\_897 AATCTGTCAA TCCTTCTAT GTYTGGACCT GGCGAGTTTT CACGTGTTGA GTCAAATTAA  
839 MT-462\_897 TGTCKATCCT TTMTATGTCT GGACCTGGCG AGTTTCCCG TGTTGGTCA TATTAAGCCG  
840 MT-462\_897 TCAATCTGTC AATCCTTCT ATGTYTGGAC CTGGCTTGT TTCCCGTGT GAGTCAAATT  
841 MT-462\_898 TCAATCTGTC AATCCTTCT ATGTYTGGAC CTGGCGAGTT TTCCCGTGT GAGTCAAATT  
842 MT-462\_898 AATCTGTCAA TCCTTCTAT GTCTGGACCT GGCGAGTTTT CCCGTGTTGA GTCAAATTAA  
843 MT-462\_898 CTGTCAWTCC AATCTATGTC TGGACCTGGC GAGTTTCCC GACTTGAGTC AAATTAACGC  
844 MT-462\_898 GYCAATCTGT CAATCCTTTC TATGTCTGGA CCTGGCGAGT TTTCCCGTGT TGAGTCAAAT  
845  
846 . . . | . . . | . . . | . . . | . . . | . . . | . . . | . . . | . . . |  
847 545 555 565 575 585 595  
848 MT-462\_897 AGCMAGGGAK TYTGACGTGT AACAGGYCTG TGACGCTTCY AGATAGTCTC AGCCTCGCGC  
849 MT-462\_897 GCAGGAGAGC TTGAGGCWGG TGGTGCCTT CCGTCAATT C YTGATGGTCT GGGCCTKMC  
850 MT-462\_897 GGGGCTCTTG GGCCTGGTGA CRGCCCTTCC GTCACCTTCT TAAGGTCTGG GCCTCGCGC  
851 MT-462\_897 AAGCCGGGGA AGTTTGGCGY GGTGRCGCGC TTCCCGTGTCT CCTTTATAGT CTGGGCTTKG  
852 MT-462\_898 AAGCCGGGGG AGCTTGGCG CGGTGACRGC GCCTGTGTCA CTTTYAGAAA GTCTGGGC  
853 MT-462\_898 GCCGCAGACG CYTGACGYGG TGGTGCYCT CCGTCGCCCT YAGTAGGTCT GGGCTCGCGC  
854 MT-462\_898 CAGAGAGCYY GGCCTGWTGA CACCCCTGTG ACGMTCCYAG AAAGTCTGGG CTGYGCGMGC  
855 MT-462\_898 TAAGCCGAG GCGCTTGRGC TAATRACACG YCTGTGACGC TCTYAGAAGG TCTGGGCC  
856  
857 . . . | . . . | . . . | . . . | . . . | . . . | . . . | . . . | . . . |

858  
 859 MT-462\_897 CCRTWCTCMT SCTGSATCCC ACAGAYTTA TATTCTGGC WGGTGMGCKA AGGRGWMTC  
 860 MT-462\_897 CGCRTWCCA CGATGGAACC CAAAGAYTTT WTATTCTTG GCTGGKACGC TWAGGAGWAT  
 861 MT-462\_897 CRTMCTCMTG CTGCATCCC AMAAGTTWT ATTTCTTCGG MTGGTAMGGA AGGRKWATCT  
 862 MT-462\_897 CGAGCRTMAT CCCCCCTGGAA CCCAAAAAYT TTKTATTCTT GGMTGGTGC GCTGGGTWAT  
 863 MT-462\_898 CGCGCCRTW CTCCCCCTGC AACCCAAAGA YTTTKTATT TC TTGGCWGGTG CGGAAGGGT  
 864 MT-462\_898 CCCRCACYCC CTGCTGCATC CCAAAGACTT TGATTCCTTG GCTGGTGC GCTGGGWATC  
 865 MT-462\_898 RTWCTCMTSA TRGATCCCAA CAGACTTATA ACCTTGGCAG GGAAGCTTAG GAGWCKCTTT  
 866 MT-462\_898 GCGSCRTWC YCMTSCTGSA TCCCCAMAAGT TTATATTYTT GGMTGGTGMG CTTAGGRKWA  
 867  
 868 .  
 869 665 675 685 695 705 715  
 870 MT-462\_897 TTWTGAAGGC GCCTTGYRAT CKSKATAGRK YATAGTWAWT AGTTAACCTT TAACGRGTAT  
 871 MT-462\_897 CTTTATGAAG ACRCCCTTCYA ATGKGGAGWG GKYLATWGTWA WTGTAAGC TTACACGRGG  
 872 MT-462\_897 TTATAAAGAC GAMTTGYGAT CKCKATSGAG CATAGTTATT AGTTAACKTT TACACGRGGT  
 873 MT-462\_897 CTTTATGAAT RCGCCTTGYG ATCTSTAGTM GGKYATWGTW AATAGTAAAG AYTTCACGGG  
 874 MT-462\_898 CTCTTATGA AGGCGCCTTG YGATCKSKAG WGGKYATWGTW TAATTAGTTA ATCTTTAAC  
 875 MT-462\_898 TTTTGAATRC GAMTTGYGAT GTSTATAGAK YATWGTWATA GTTAAGATTA CACGRGTATY  
 876 MT-462\_898 ATGAAGACGA CCTGYGATCK GKAGAGAKYA TWGTWATTAG TTAATCTTAC RMGRGGTATC  
 877 MT-462\_898 TCTTATGAA TGYGACTTGY GATSKSKAGT CGAKYATWGT TAATAGTTAA KCTTTACACG  
 878  
 879 . . . . . . . . . . . . . . . . . . .  
 880 725 735 745 755 765 775  
 881 MT-462\_897 CYSATCGTAT GCGATCSYCA TACCTYTCGY KCTGGATTAC RTSMCWRCMY CTTTGKRCAC  
 882 MT-462\_897 WATCKCCTCG TMTGCGWC CCAACCTCY GYGCTGAATT CRTGAMWRCM YCTTGTRCAC  
 883 MT-462\_897 ATCGCSMTCG TATGCGMWCG YCTCMGCTY YKCTTGAATT CRTSMCMACC YCTTTGKRCA  
 884 MT-462\_897 TAAYGCTCG TMWCGCMAWM GYCCTCMCT YGCKCTGGAT TACGTGMACR CYCTTGKRC  
 885 MT-462\_898 GGGTAACKCC TCGTMTGCGC WCGCCAWCMT CTYGCKCTKA WTACATSMMM TRCMYCTTTG  
 886 MT-462\_898 GCATCGTMWG CGCWCGYCW CCGCTYGYKY TGATTACRTS MCAACMYCTT TGKACACAYS  
 887 MT-462\_898 GCMTCGTATG CGCWCSYCAT CMGCTYGYKY TGATTACGTG CAMWGCTCT TTGTAAMACC  
 888 MT-462\_898 RGKAACKSMT MGTMTGCGMT MSYCATCACK CTYGYKYTGA ATACRTGMMA WGCMCTTTG  
 889  
 890 . . . . . . . . . . . . . . . . . . .  
 891 785 795 805 815 825 835  
 892 MT-462\_897 ACCSTCYCGC AGCTCCTWCT SATTGASWGA TCTGGKAAAT TATCTCGACW GWRTTTAATA  
 893 MT-462\_897 ACCGTCYCGC GCTCCTACSK ATTGASWRAT CTRAGAAATT MATCTAGACW GWRTTTAATA  
 894 MT-462\_897 CACCCKYCC GYCGCTSCTW CTSWTTGASW GATCTGRGAA WTTCACTAG RCWGWRRTTA  
 895 MT-462\_897 AMAYSCKCCC GYMGTSCYT WCTSATTGAS WRATCTGRGA AWTTCACTCTC GACWGKWTWA  
 896 MT-462\_898 KACACACCAGC YCGCGCWSCT WCTSWTTGAS WRATCTRRKA AWTTCACTCTC GACWGKATTW  
 897 MT-462\_898 CGYYCGTAGC TSCTWCYGAT TGAGWGATCT RRGAAWTTCA YCYASKACWG RRWTWATAGC  
 898 MT-462\_898 GYYCGTAGCT SCTASTGTT ASWRATCARG TAATTCACT YMGRMCRGWTT ATASCAGTRC  
 899 MT-462\_898 ACAMATSCKY CCGYAGCWGC TTASTSATR ASWGATCTAR GTAATWCAYY TACKAMWGRT  
 900  
 901 . . . . . . . . . . . . . . . . . . .  
 902 845 855 865 875 885 895  
 903 MT-462\_897 GCAGTGCYYC GCATCWGTM CTGWAAGTCT GAGATCTCTY TYMCCWCAGM ARRARAAG.  
 904 MT-462\_897 CAAGTRCTCG YATCWGCYMY WGWMAGTCTR AGATCGCTCT CTMYCYYAKC CSGAGGAGAG  
 905 MT-462\_897 TAGCAGTRCT CSYAYAGCTC TAKMAGTCTA GTRAWCKTCT MTTCACTCAA RGAGAGAAGA  
 906 MT-462\_897 TARCAAAGTRC TYGYAWCGC YCTARTMAGT ATRWRAACTC TTYTTMTMTA KMAGAGAAAA  
 907 MT-462\_898 AATAGCAAGT RYYCYAYWGC TMTAGWMAGT CTGTGATGAT CTCTCWCTCY ACAAGGAAGG  
 908 MT-462\_898 AAGTRCYCST ATCWGCMYMT AGTAAGTCAT RWGAAYGCTC YTTYWCATAT AAAARAGAAG  
 909 MT-462\_898 TCSTAYTAGC WCTAKMAGYA TARTGAWCGT TCWTCAMTCA AGAKRAGAGG GAGWAGRATT  
 910 MT-462\_898 ATAATASCAG TACYYCSTAT YAGCATCATA KCAAGTCWTA RWGTACTTCT WATCATCACT  
 911  
 912 . . . . . . . . . . . . . . . . . .  
 913 905 915  
 914 MT-462\_897 . . . . . . . . . . . .  
 915 MT-462\_897 . . . . . . . . . . . .

916 MT-462\_897 GAGRGRRTTC ..... .
   
 917 MT-462\_897 ARGGAARAGA TCTG..... .
   
 918 MT-462\_898 GAGGGGAGAR ..... .
   
 919 MT-462\_898 GGAGRAGGTT T..... .
   
 920 MT-462\_898 T..... .
   
 921 MT-462\_898 ATRARGACTT GGAAGAGATC TG
   
 922
   
 923
   
 924 Alinhamento: primer HEMO2
   
 925
   
 926
   
 927
   
 928 MT-462\_897 CKKCRRTWKS TRGKMCTTG CATGCTACTG TCCGAGGTGA ATTCTTTAGA TTTATCAAAG
   
 929 MT-462\_897 GKKYRRKTTG SGTRGGCTAA TGCATGCTAC TGTCGAGGT GAATTCTTA GATTGTCAA
   
 930 MT-462\_897 AYSSYSCSRW KTGSGGAGGC TAATGCTGCT ACTGTCGAG GTGAAATTCT TAGATTTGTT
   
 931 MT-462\_898 AAARGGKSSR RTWKSTGGKS CTTATGCTGC TACTGTACAG KGTAAATTCT TTAGATGGAT
   
 932 MT-462\_898 GKKKKSWRTT KSKRAKRCTT ATGCTGCTAT TGTACGGGT GAATTCTTA GATGTATCAC
   
 933 MT-462\_898 TKKKKRRRTT TCKRAGRCTA ATGCATGCTA CTGTCCGAGG TGAATTCTTT AGATTATCA
   
 934 MT-462\_898 ASKKKGCCWK TWTCTKAKSA AATGCWTGCT ATTGATACAG KCTAAATTAT TTAGCGGATC
   
 935 MT-462\_898 CGSYKTCAAT TTTCMGAGAA AAATGCWTGC TAATAAGTMC GGKSTGAAAT TATTTACCGG
   
 936
   
 937
   
 938
   
 939 MT-462\_897 ACTCACTACT GCCAACGGGT GGTGTGTGCT AAGGGCAGGG ACCTAGTCAA CGCAAGCTGA
   
 940 MT-462\_897 AGACTCACTA CTGCCAACCG GTGGYGTGTA CTAAGTTCAAG GGACCTAGTA CACGCAAGCT
   
 941 MT-462\_897 AAAGACWCAC TACTGCCAAA GGGYGGKGTG TGCTAAGGGC AGGGACGTAA TCAACGCAAG
   
 942 MT-462\_898 CAAAGACACA CTACTGCCGG GCGGTGGTGT GTGCWAAGGG CAGGGACCWA GTCAACGCAA
   
 943 MT-462\_898 AGACTCACTA CTGCCAACCG GTGGTGTGTA CTAAGGGCAG GGACCTAGTC AACGCAAGCT
   
 944 MT-462\_898 AAGACTCACT ACTGCCAACG GGTGGYGTGT ACTAAGGGCA GGGACCTAGT CAACGCAAGC
   
 945 MT-462\_898 ACTCAAWCGG TACTTGCAC GGGYGGTGTG TACWAAGGGC AGGGACGTAA TCMACGCAAG
   
 946 MT-462\_898 ATCACTCAAT CGGTACTRGC GACGGGCGGY GTGTRCWAAG GGCAGGGACG WAATCMACGC
   
 947
   
 948
   
 949
   
 950 MT-462\_897 TGACTTGCAC TTACTAGGC AAGATTAATA ATTACAATAA TCTATCCCCA
   
 951 MT-462\_897 GATGACTTGC GCTTACTAGG CATTCTCGT TAAAGATTAA TAATTACAAT AATCTATCCC
   
 952 MT-462\_897 CTGATGACTT GCGCTTACTA GGCATTCTGC GTTAAAGATT AATAATTACM ATAATCTATC
   
 953 MT-462\_898 GCTGATGACT TGCGCTTACT AGGCATTCTC CGTTAAAGAT TAATAATTAC AATAATCTAT
   
 954 MT-462\_898 GATGACTTGC GCTTACTAGG CATTCTCGT TAAAGATTAA TAATTACAAT AATCTATCCC
   
 955 MT-462\_898 TGATGACTTG CGCTTACTAG GCATTCTCG TTAAAGATTAA ATAATTACAA TAATCTATCC
   
 956 MT-462\_898 CTGATGACTT GCGCTTACTA GGCATTCTC GTTAAAGATT AATAATTACA ATAATCTATC
   
 957 MT-462\_898 AAGCTGATGA CTTGCGCTTA CTAGGCATTC CTCGTTAAAG ATTAATAATT ACAATAATCT
   
 958
   
 959
   
 960
   
 961 MT-462\_897 TCGCAATGCA CATTCAAAAG ATTACCTAAG CTTACCAGCC AAGGTTATAA ACTTGTGGA
   
 962 MT-462\_897 CATCGCAATG CACATTCAAA AGATTACCTA AGCTTACAG CCAAGGYTAT AAACTTGTTG
   
 963 MT-462\_897 CCCATCACAA TGCACATTCA AAAGATTACC TAAGCTTAC AGCCAAGGTT ATAAACTTGT
   
 964 MT-462\_898 CCCCATCACA ATGCACATTCA AAAAGATTAC CTAAGCTTAC CAGCGAAGGT TATAAACTTG
   
 965 MT-462\_898 CATCACAATG CACATTCAAA AGATTACCTA AGCTTACAG CCAAGGYTAT AAACTTGTTG
   
 966 MT-462\_898 CCATCACAAT GCACATTCAAA AGATTACT AAGCTTACCA GCCAAGGTTA TAAACTTGT
   
 967 MT-462\_898 CCCATCACAA TGCACATTCA AAAGATTACC TAAGCTTAC AGCCAAGGTT ATGAACTTGT
   
 968 MT-462\_898 ATCCCCATCA CAATGCACAT TCAAAAGATT ACCTAAGCTT ACCAGCCAAG GTTATRAACT
   
 969
   
 970
   
 971
   
 972 MT-462\_897 TGCATCATGG TAGCGCGCGT GCAGGCCAGA ACATCTAAGG GCATCACAGA CCTGTYATTG
   
 973 MT-462\_897 GATGCATCAT TGTTGCGCGC GWGGMGGCCA GAACATCTAA GGGCATCACA GACCTGTYAT

974 MT-462\_897 TGGATGCATC ATTGTAGCGC GCGTGCAGCC CAGAACATCT AAGGGCATCA CAGACCTGTY  
 975 MT-462\_898 TTGGATGCAT CATTGTAGCG CGCGTGCAGC CCAGAACATC TAAGGGCATC ACAGACCTGT  
 976 MT-462\_898 GATGCATCAT TGTTGCGCGC GWGCMGSCCA CAACATCTAA GGGCATCACA GACCTGTYAT  
 977 MT-462\_898 GGATGCATCA TTGTAGCGCG CGWGMGGCC AGAACATCTA AGGGCATCAC AGACCTGTYA  
 978 MT-462\_898 TGGATGCRTC AWTGTTGCGC GCGTGCAGCC CASAACATCT AAGGGCATCA CAGACCTGTY  
 979 MT-462\_898 TGTTGGATGC ATCATTGTWG CGCGCGWGCM GSACAGAAC TCTAAGGGCA TCACAGACCT  
 980  
 981 . . . . . | . . . . . | . . . . . | . . . . . | . . . . . | . . . . . | . . . . . |  
 982 305 315 325 335 345 355  
 983 MT-462\_897 CCTCAAAC TTGCGCTTA AACACGAAA GTCCCTCTAA GAAGTAATT AAAAACAAAT  
 984 MT-462\_897 TGCCCTAAC TTCCCTGCGT TAAACACGCA AAGTCCTCT AAGAAGTAAT TAAAAACAA  
 985 MT-462\_897 ATTGCCTCAA ACTTCCTTGC GTTAAACACG CAAAGTCCTT CTAAGAAGTA ATTTAAAAAC  
 986 MT-462\_898 YATTGCCTCA AACTTCCTTG CGTTAAACAC GCAAAGTCCT TCTAAGAAGT AATTTAAAAA  
 987 MT-462\_898 GGCCCTAAC TTCCCTGCGT TAAACACGCA AAGTCCTCT AAGAAGYAAT TCAAAAACAA  
 988 MT-462\_898 TTGCCTCAA CTTCCTTGC GTTAAACACG AAAGTCCTTC TAAGAAGTAA TTTAAAAACA  
 989 MT-462\_898 ATTGCCTCAA ACTTCCTTGC GTWAAACACG CAAAGYCCT CTAAGAAGYA ATTTAAAAAC  
 990 MT-462\_898 GTYATTGCCT CAAACTTCCT TGCCTTAAAC ACGCAAAGYC CTTCTAAGAA GYAATTYAAA  
 991  
 992 . . . . . | . . . . . | . . . . . | . . . . . | . . . . . | . . . . . | . . . . . |  
 993 365 375 385 395 405 415  
 994 MT-462\_897 GTTTTTAACCT ATATTTAGAA GGCTAAGGTC TCGYTCGKTA ACGGAATTCA CCAGACAAAT  
 995 MT-462\_897 ATGTTTTAA CCCTATTTAG CAGGCTAAGG TCTCGTTCGT TAACGGAATT CACCAGACAA  
 996 MT-462\_897 AAATGTTTT AACCTATTT AGCAGGCTAA GGTCTCGTTC GGTAACGGAA TTAACCAGAC  
 997 MT-462\_898 CAAATGTTTT TAACCCTATT TAGCAGGCTA AGGTCTCGTT CGTTAACGGA ATTCAACCAGA  
 998 MT-462\_898 ATGTGTTAA CCCTATTTAG CAGGCTAAGG TCTCGTTCGT TAACGGAATT CACCAGACAA  
 999 MT-462\_898 AATGTTTTA ACCCTATTTA GCAGGCTAAG GTCTCGCTCG TTAACGGAAT TAACCAGACA  
 000 MT-462\_898 TAATGTTTT AACCTATTT AGCAGGCTAA GGTCTCGYTC GGGAACGGAA TTAACCAGAC  
 001 MT-462\_898 AACAAATGTT TTTAACCTA TTAGCAGGC TAAGGTCTCG TTCGKKAACG GGATTMACCA  
 002  
 003 . . . . . | . . . . . | . . . . . | . . . . . | . . . . . | . . . . . | . . . . . |  
 004 425 435 445 455 465 475  
 005 MT-462\_897 CACTCCACCA ACTAAGAACG GCCATGCACC ACCRCCCAYA GAATTGAGAA AGAGCTGTCA  
 006 MT-462\_897 ATCACTCCAC CAACTAAGAA CGGCCGTKCA CCACCACCA YAGAATTRAG AAAGAGCTGT  
 007 MT-462\_897 AAATCACTCC ACCAACTAAG AACGGCCATG CACCACCRCC CAYAGAATTA AGAWAGAGCT  
 008 MT-462\_898 CAAATCACTC CACCAACTAA GAACGGCCRT KCACCACCA CCAYAGAAKT RAGCAAGAGC  
 009 MT-462\_898 ATCACTCCAC CAACTAAGAA CGGCCATKCA CCACCACCA YAGAATTRAG AWAGAGCTGT  
 010 MT-462\_898 AATCACTCCA CCAACTAAGA ACGGCCAGKC ACCACCAACC AYAGAATTAA GAAAGAGCTG  
 011 MT-462\_898 AAATCACTCC ACCAACTAAG AACGGCCATG CACCACCRCC CAYAGAATTR AGAAAGAGCT  
 012 MT-462\_898 GACAAATCAC TCCRCCAACT AAGAACGGCC ATGCACCAACC RCYMYAGAA TTRAGAWAGA  
 013  
 014 . . . . . | . . . . . | . . . . . | . . . . . | . . . . . | . . . . . | . . . . . |  
 015 485 495 505 515 525 535  
 016 MT-462\_897 ATCTGTCAAT CCTATCTATG TYTGGACCTG GCGTGTTC CCGTCTTGAG TCAAATTAAG  
 017 MT-462\_897 CAATCTGTCA ATCCTTCTA TGTYTGGACC TGGYGAGTT TCACGTGTT AGTCAAATTA  
 018 MT-462\_897 GTCAATCTGT CAATCCTTC TATGTYTGGA CCTGGCTAGT TTTCCCGGAC TTGAGTCAA  
 019 MT-462\_898 TGTCAATCTG TCAATCCTTT CTATGTCCTGG ACCTGGCGAG TTTCCCGGA CTTGGGTCAA  
 020 MT-462\_898 CAATCTGTCA ATCCTWTCTA TGTCTGGACC TGGCGAGTT AGAAGGACTT GAGTCAAATT  
 021 MT-462\_898 TCAATCTGTC AATCCTWTCT ATGTCTGGAC CTGGYGAGTT TTCCCGTGT GAGTCAAATT  
 022 MT-462\_898 GTCAATCTGT CAWTCCTTTC TATGTTTGGA ACTGGCGAGT TTTCACGTGT TGAGTCAAAT  
 023 MT-462\_898 GCTGYCAATC TGTCWATCCT TTCTATGTCT GGACCTGGYAGTTTTCCCG TGTTGAGTCA  
 024  
 025 . . . . . | . . . . . | . . . . . | . . . . . | . . . . . | . . . . . | . . . . . |  
 026 545 555 565 575 585 595  
 027 MT-462\_897 CCGGAGAGCY MGAGCWGGTG GKGCCCTGCC GTCAATTCCA GATGGTTGG GCCTKMCAG  
 028 MT-462\_897 ACGCCGGAGA CGCTTGACGT GGTGGKGCGY CTGTGATGCT TCCTTATGTT TTGGGCCTCM  
 029 MT-462\_897 TTAAGCCGGA GAAGCYTGAC GCAATAACAG CCCCTCCGTC AWTTCYTTAT GGTCTGGGCT  
 030 MT-462\_898 ATTAAGCCGC GGACGCTTGA CGTGGTGGKG CCCTCCGTC AWTTCCGTAT AGTCTGGGCT  
 031 MT-462\_898 AAGCCGCAGG AGCYAGGCAGC AATAACAGCG YCTGTGACGC CCTYAGATAG TCTCAGCTC

032 MT-462\_898 AAGCCGGAGA AGTTTGACGC AATRGKGKCC CTTCCGTCGC CCTCYTGAAGA GTCTGGGCTG  
 033 MT-462\_898 TAAGCCGGGG AYTTTGACGW GTRGCAGCCT TCCGACACTT CTTGAAAGTT TGAGCCGKGC  
 034 MT-462\_898 AATTAAGCCG GAGRCGCTTG ACGTAATGAC AGGYTTCCGT CGCCCCCWGA TAGTCTGGC  
 035  
 036 . . . | . . . | . . . | . . . | . . . | . . . | . . . | . . . | . . . | . . . | . . . |  
 037 605 615 625 635 645 655  
 038 MT-462\_897 CRTWAYCMTC CTGGAACCCA AAAATTTKW ATCCTTGGCT GGTGCTGAAG GRGWATCTT  
 039 MT-462\_897 CGACCRTWCT CACGCTRCAA CCCAAAGACT TTWTAATCCT TGGCTGGTAS TGAAGGGKWA  
 040 MT-462\_897 GKRCGCCCRT WCCCCCSCTG RAACCCAAAG AYTTTATAAC TTCGCTGGG AAGCTTAGGA  
 041 MT-462\_898 GYGCGCCWC WCTCCCCCTG GAACCCAAAG AYTTWTATT TCTTGGCTGG TGCGKWWGGG  
 042 MT-462\_898 GCGCCRCWC YCMCSCYGC A TCCCACAGAC TTTATAACYC TGGCWGGTRM GCTTAGGRKW  
 043 MT-462\_898 KMCGCCCWCW CCCMTCCYRG AACCCAAMAG AYTTTATAATT CCTTGGCTGG TGCTGWKG  
 044 MT-462\_898 GCCCRACYWCC CTCAMGCAAC CCAAAGGYTT TTATTCTSG GMTGGTGMGG AAGGGTWATC  
 045 MT-462\_898 TTCGCGCGCR TACCCMCSCY GSAACCCAAA GATTATAAT CCTSGKARGG KCGGAAAGGR  
 046  
 047 . . . | . . . | . . . | . . . | . . . | . . . | . . . | . . . | . . . | . . . | . . . |  
 048 665 675 685 695 705 715  
 049 MT-462\_897 TTGAATGYGA CTTGYGATCK GKAGWGAKYA TAGTTAACAG TAAATCTTAA ACGRGGAATC  
 050 MT-462\_897 TCTTTGAAG MCGCCTGYG ATCKCKAGWG RGYATWGTWA WTGTTAACAT TTTAACGGGT  
 051 MT-462\_897 GWATCTTTAT GAAGGGCACT TTGYGATCTC KATAGGKTAT WGTAAATTAK TTAATCTTC  
 052 MT-462\_898 TWATCTTTAT GAATACGAMT TCYGATCKG AGWGAKTATT GTTATTAGTA AATCTTACAC  
 053 MT-462\_898 MTCTTTGA AKRCGCCTTG YGATCKCKAG AGRKYATWGT WAATATTAAT CTTACACGGG  
 054 MT-462\_898 TWATCTTTAT GAAGGGCACT TGYGATCKCT AGYCGAKYAT WGTAAATAGT AAAGACTAAA  
 055 MT-462\_898 TTTATGAAGA CGCCTTCYGA TCTSGATWGA TTATWGGTAA TTGTTAACAT TTTCAMGGK  
 056 MT-462\_898 KWMKCTTTG AAGGCGACCT CTGATCKCKA TAGATTATTG TAATTAGTAA AGCTTTAC  
 057  
 058 . . . | . . . | . . . | . . . | . . . | . . . | . . . | . . . | . . . | . . . | . . . |  
 059 725 735 745 755 765 775  
 060 MT-462\_897 KCATCGTAWG CGAWCGYCAT MAGCTYGCAG TGAATACRTC AATRCYCTT GGCACACSS  
 061 MT-462\_897 ATCYCATCGT AWGCGCWCCC CATCACGCTY GYKTTGAATA CATSCCTRCA YCTTTGKRCA  
 062 MT-462\_897 ACGGGTAAYG SATCGTMWGC GCWCGYCAWC MTYTTYGCKC TTGAATTACA TSMCCACYCT  
 063 MT-462\_898 GGGTATCYGA TCGTMTGCGC WCGCCATCAG YTYGYGCTGA ATACRTCMAA ACMYCTTTG  
 064 MT-462\_898 TAACKCCTCG TATGCGCTCG CCATMAGCTC GYKCTGATTA CGTSAMACMY CTTGTGCACA  
 065 MT-462\_898 CGGGTAAYGC CTCGTMWGC ATCGYCAWCM TCTYGCCTG AATACGTGAA TGCMYCTTT  
 066 MT-462\_898 AAYGCCTCGT MWGCGCTCGY CAWCMKCTYG CKYTGATTAC ATMAMARCCC TTTTGGAAAA  
 067 MT-462\_898 AGTAAYGCMT MGTMTKCGCW CGYCAWCMKC TTGYKYTGGA TTACGTSAMT RCMTCTTTG  
 068  
 069 . . . | . . . | . . . | . . . | . . . | . . . | . . . | . . . | . . . | . . . | . . . |  
 070 785 795 805 815 825 835  
 071 MT-462\_897 CYCGCGCTCC TWCTCWTTGA SWGATCTRAG AAATTATCTC GACWGWRATAA ATAGCAARTG  
 072 MT-462\_897 CAYSCTCYCG CGCTCCTWCT CATTGASWGA TCTGRKAAAT TCATCAGACW GWATAATACA  
 073 MT-462\_897 TTGKACACAY SCKYCCGYMG CTSCTTCYSW TTGAMWRATC TGRKAAWTAA TCTAGACWGT  
 074 MT-462\_898 TACAMAYCCG CYCGYMGCCT CTWCTSATTG ASWGATCTRR GAAWTCAYC TAGACWGKAT  
 075 MT-462\_898 YCCKYYCGYM GCTSCTASCS WTTGASWGT CTRGAAATTG ATCTACGACW GKATTAATAG  
 076 MT-462\_898 GTACACACCG YCCGCGCWSC TACTGWTGAA SWGATCTRK AAWTCATCTA GACWGKWTWA  
 077 MT-462\_898 YSCKCCCGYA GCWSCTWCCG ATTRASWRAT CTRAGAAAAT CAYYYTMGAC TGTWTWAATA  
 078 MT-462\_898 TACACAYSCG YCCGTAGCTG CTTACYGWT GASAGATCWG AGTAAWTCAY YYTCGKACWG  
 079  
 080 . . . | . . . | . . . | . . . | . . . | . . . | . . . | . . . | . . . | . . . | . . . |  
 081 845 855 865 875 885 895  
 082 MT-462\_897 CTYGYATCWG MTMYWGWAAG TCTRTRACGY TTCTCWMMAC WAACAAAAAA AGAGGGGG..  
 083 MT-462\_897 AGTGCYCGYA TCWGCYCCGT AMAGTCTGAG ATCGCTCTYY WWMMTCACCA GAAAAA...  
 084 MT-462\_897 ATWWATAGCA GTRCYYYGAT YAGMYCTAGW AAGTCWTAGW RWACKTYYT TYTMTAGAGA  
 085 MT-462\_898 TTAATACAAG TRCYYSTATC WGCYMTARTA AAGTCTAAGA WCGYYTYTYT CTAGCAAGAG  
 086 MT-462\_898 CAGTRCTCSY AYTGCMYMTA TAAGTATGGA CGYTCTTYTC ATAGCGAGAG GGAGAGGGAG  
 087 MT-462\_898 TASMGTRYC CSTATCWGCA YMTAGTAAGT CATAGWRTCG TCTYYTYWMA TCAYAAGARA  
 088 MT-462\_898 GMAGTRCYYC STATTAGCAY MTAKMAAGYA TAGAKAACTC TCTYTCACTC ATAAGGAAGA  
 089 MT-462\_898 GTWTAATAGC AGTRCTYCGT ATTAGCATCT AKMAGYYWTA RWGWASTYTY WTAAATCAAT



148 MT-461\_888 TAAAAGCCGA CCGGTTATTT TTAGCAAAAA TTWAACACK AGCTTTTAA CTGCGACAAT  
149 MT-461\_888 AAGCAGACCG GYTATTTTA GCAAAAATTC AACTACKAGC TTTTTAACTG CGACAATT  
150  
151 . . . | . . . | . . . | . . . | . . . | . . . | . . . | . . . | . . . |  
152 305 315 325 335 345 355  
153 MT-461\_887 ATTGGAGCTG GAATTACCGC GGCTGCTGGC ACCAGACTTG CCCTCCAATT GATACTTAA  
154 MT-461\_887 GATACGCGAT TGGAGCTGGA ATTACCGCGG CTGCTGGCAC CAGACTTGCC CTCCAATTGA  
155 MT-461\_887 ATATACGCTA TTGGAGCTGG AATTACCGCG GCTGCCGGCA CCAGACTTGC CCTCCAATTG  
156 MT-461\_887 ACGCTATTGG AGCTGGAATT ACCCGCGGCTG CYGGCACCAG ACTTGCCCTC CAATTGATAC  
157 MT-461\_888 TTTAATATAC GCTATTGGAG CTGGAATTAC CGCGGCTGCC GGCACCAGAC TTGCCCTCCA  
158 MT-461\_888 AATATACGCT ATTGGAGCTG GAATTACCGC GGCTGCTGGC ACCAGACTTG CCCTCCAATT  
159  
160 . . . | . . . | . . . | . . . | . . . | . . . | . . . | . . . | . . . |  
161 365 375 385 395 405 415  
162 MT-461\_887 AAAGTATTAA AATTCTATC AGTCCAATTAA CWACGCATTT TAACTGCCTT GWACTGTWAT  
163 MT-461\_887 TACTTTAAA AGTATTAA TTTCTATCAG TCCAATTACT ACGCATTAA ACTGCCTYGW  
164 MT-461\_887 ATACTTTAAA AAGTATTAA ATTTCTATCA GTCCAATTAC TACGCATTAA AACTGCCTY  
165 MT-461\_887 TTTAAAAAGT ATTTAAATTCTT CTATCAKTCC AATTACAACG CATTAAACT GCCTTGWACT  
166 MT-461\_888 ATTGATACTT TAAAAAGTAT TTAAATTCTT ATCATTCCAA TTACTACGTT TTTTAACTGC  
167 MT-461\_888 GACTTTAA AAAGTATTAA AATTCTATC ATTCCAATTAA CWACGCATTT TAACTGCCTY  
168  
169 . . . | . . . | . . . | . . . | . . . | . . . | . . . | . . . | . . . |  
170 425 435 445 455 465 475  
171 MT-461\_887 TTCTTGTWC TACCTCTMTT ATGCTGTTAG AAGTGGYAA WTKGCGCGCC TRCTGCCTTC  
172 MT-461\_887 ACTGYWATT CTTGTCACTA CCTCTCTTAT GCTGTTAGAA GTGGGYWAWT KGCKCGCCTR  
173 MT-461\_887 AACTGTWATT TCTTGTCACT ACCTCTCTTA TGCTGTTAGA AGTGGGYWAW TKGCGCGCCT  
174 MT-461\_887 GTWATTCTT GTCACTACCT CTMTTATGCT GTTAGAATTG GGYAATTGCG GCGCCTGCTG  
175 MT-461\_888 CTYGTACTGT WATTCTTGT CACTACCTCT CTTGTGCTGT TAGAAGTGGG YWAWTKGCGC  
176 MT-461\_888 GWACTGTWAT TTCTTGTAC TACCTCTCTT ATGCTGTTAG AATTGGYWA WTKGCKCGCC  
177  
178 . . . | . . . | . . . | . . . | . . . | . . . | . . . | . . . | . . . |  
179 485 495 505 515 525 535  
180 MT-461\_887 CTTAGATGTG GWAGCCGWTT CTCAGGCTCC CTCTCCGGAA TCGAACCTTA ATCCCCCGWT  
181 MT-461\_887 CTGCCTTCCT TAGATRTGGW AGCCGWTCT CAGGCTCCCT CTCCGGAATC GAACCTTAAT  
182 MT-461\_887 RCTGCCTTCC TKAGATGTGG WAGCCGWTTC TCAGGCTCCC TCTCCGGAAT CGAGCCCTAA  
183 MT-461\_887 CCTTCCTTAG ATGTGGWAGC CGWTTCTCAG GCTCCCTCTC CGGAATCGAA CCCTAATCCC  
184 MT-461\_888 GCCTRCTGCC TTCCTKAGAT GTRGWAKCCG WTTCTCAGGC TCCCTCTCCG GAATCGAAC  
185 MT-461\_888 TRCTGCCTTC CTTAGATGTG GWAGCCGWTT CTCAGGCTCC CTCTCCGGAA TCGAACCTTA  
186  
187 . . . | . . . | . . . | . . . | . . . | . . . | . . . | . . . | . . . |  
188 545 555 565 575 585 595  
189 MT-461\_887 AACCGTSACT GCCACGGKRM GYCWATACCA TACCGTCGAA AGCTGATAGG YYAGAACAG  
190 MT-461\_887 CCCCCGWTAA CCGKSACTGC CACGGKRAGY YAATATCATA CCGTCRAAAG CTGATATGTY  
191 MT-461\_887 TCCCCCGWTA ACCGTSACTG CYACGGTAMG YYAATACCAT ACCGTGAAA GCTGATAGTY  
192 MT-461\_887 CCGWTAACCG KCACTGCCAC GGKAAGCCAA TACCATACCG TCGAAAGCTG AAGTTTARRR  
193 MT-461\_888 CTAATCCCCC GWTWACCGKC ACTGCYACGG KRMGCYAATA CCWTACCGTC RAAAGCTGAT  
194 MT-461\_888 ATCCCCCGWT AACCGTCACT GCCACGGKRA GYCAATACCW TACCGTCGAA AGCTGATAGT  
195  
196 . . . | . . . | . . . | ..  
197 605 615  
198 MT-461\_887 AGA.....  
199 MT-461\_887 ARAAACAGAG A.....  
200 MT-461\_887 YAGGAAACAG A.....  
201 MT-461\_887 AAACARAGA. ....  
202 MT-461\_888 ATGTYWAGAA WACAAGA  
203 MT-461\_888 YYARRAWACA GAGA...  
204  
205

206  
 207 Alinhamento: primer HEP900  
 208  
 209  
 210 .....|.....|.....|.....|.....|.....|.....|.....|.....|.....|.....|  
 211 5 15 25 35 45 55  
 212 MT-461\_887 GTGGATSTGG GKTTACCGGG GGCAGTRTCG GTCAAATGGG GGAGTAGGGW ACGATTCCGG  
 213 MT-461\_887 AGAGGTATTT GGCCTACCCG TGGGCAGTGT CGGTTAACGG GGGATAGGGW WCGATTCCGG  
 214 MT-461\_887 ATGGTTTGGG CTTCCGTGGC AGTGAGGTAA ACAGGGGATA GGGTTCGATT CCGGAGAGGA  
 215 MT-461\_888 CATTCKKG TGCCCCCTACTG CCCCTATCAA TCATTAATT AGTTCTAAA ACCAATAACG  
 216 MT-461\_888 AGGAATTGGG CTTACCAGGTG GCAGTRTCGG TTAACGGGGG AKTAGGGWTC GATTCCGGAG  
 217 MT-461\_888 CGGAATTGGG GCTTCCGKGG GCAGTRTCGG TTAACGGGGG AKTAGGGWTC GATTCCGGAG  
 218 .....|.....|.....|.....|.....|.....|.....|.....|.....|.....|  
 219 65 75 85 95 105 115  
 220 MT-461\_887 AGAGAACGCT GAGAAAAGGC TATACATCTT GCTGCAGAGC AGGAGACGAA GCCTGAATT  
 221 MT-461\_887 AGAGGGAGCC TGAGAAACGG CTACCACATC TTGGAAGGCA GCAGGAGACG TTYACCGAA  
 222 MT-461\_887 GCCTGAGAAA ATGTTATTCA TCTTGCTGCA GAGTTCAAAA CGTTAGCATG ATTAAACAC  
 223 MT-461\_888 TAGAASTAAA ATCCTATTTC ATTATTCCAT GCTGCAGWRT TCAAAACGTT AGCCTGCTTG  
 224 MT-461\_888 AGGGAGCCTG AGAAACGGCT ACCACATCTA AGGAAGGGAG CAGGAAACRA ATGACCCAAT  
 225 MT-461\_888 AGGGAGCCTG AGAAACGGTT ACCACATCTA AGGAAGGCAG CTGGAGACGT TATYACCCAA  
 226 MT-461\_888  
 227 .....|.....|.....|.....|.....|.....|.....|.....|.....|  
 228 125 135 145 155 165 175  
 229 AAACATCTAA TTATCTCAAA GGAAAAATCC TGAAATTGC TTTAACAAAT AAAGGAAAAT  
 230 MT-461\_887 TTCTAACATC TTATGATAGG AAGGGAAAAG AAATGAAATT CGCGTTGAC ATAAGGTTAA  
 231 MT-461\_887 TCTAATTTC TCAAAGKAAA AATCCTGAAA TTTGCTTTA ACAATAAAAGT AAAATGCTTT  
 232 MT-461\_887 AAACACTCTA ATTTCTCAA AGTAAAATC CTGAAATTG CTTTTAACAA TAAAGTAAA  
 233 MT-461\_888 TCTAACAGCA CAAGAGAGGT AGTCAAAGAA ATAAAAATAC GAGGYAGACA ATAAGGGAAA  
 234 MT-461\_888 TTCTAACATC ATAAGATAGG AAAGGAAAAG AAATAACAAT TTGAGTTGA CAATAAGGAA  
 235 MT-461\_888  
 236 .....|.....|.....|.....|.....|.....|.....|.....|.....|  
 237 185 195 205 215 225 235  
 238 MT-461\_887 GCTTTCAAA GGACATTATT GCTAGAAACA CAACAAGATA CCACCTTTAT TAATAAAAGC  
 239 MT-461\_887 AATGCTTTTC AGAGGACATT ATTGCTAGAA ACACACGAAG ATACCACTGT TATTAATAAA  
 240 MT-461\_887 TCAAAGAACAA TTATTGCTAG AAACACACGA AGATACCACT GTTATTAATT AAAGCCGACC  
 241 MT-461\_887 TGCTTTCAA AGGACATTAT TGCTAGAAAC ACACCAAGAT ACCACTTTA TTAATAAAAG  
 242 MT-461\_888 AAACATTCT GAGGAAATTAA TTGCTACTTT TTCAAGAAGA TACCACTTTT ATTAATAAAA  
 243 MT-461\_888 AAAAGCATTT CAAAGGACAT TATTGCTAGA AACACACGAA GATACCACTT TTATTAATAA  
 244 MT-461\_888  
 245 .....|.....|.....|.....|.....|.....|.....|.....|.....|  
 246 245 255 265 275 285 295  
 247 MT-461\_887 AGACCGGTTA TTTTAGCAA AAATTCAACT ACGAGCTTT TAACTGCRAC AATTTAATA  
 248 MT-461\_887 AGCMGACCGG YKATTTTAG CAAAAATTCA ACTACGAGCT TTTAACACTGC GACGATTAA  
 249 MT-461\_887 GGYATTTTT AGCAAAATT CAACTACKAG CTTTTAACT GCGACGATT TAATATACGC  
 250 MT-461\_887 CAGACCGGTT ATTTTAGCA AAAATTCAAC TACGAGCTTT TAACTGCRA CAATTTAAAT  
 251 MT-461\_888 GCAGACCGGT TATTTTAGC AAAATTMAA CTACKAGCTT TTTAACACTGCG ACAATTTAA  
 252 MT-461\_888 AAGCAGACCG GYTATTTTA GCAAAATTCA AACTACKAGC TTTTTAACTG CRACAATTAA  
 253 MT-461\_888  
 254 .....|.....|.....|.....|.....|.....|.....|.....|.....|  
 255 305 315 325 335 345 355  
 256 MT-461\_887 TACGCTATTG GAGCTGGAAT TACCGCGGCT GCTGGCACCA GACTTGCCT CCAATTGATA  
 257 MT-461\_887 ATATACGCTA TTGGAGCTGG AATTACCGCG GCTGCTGGCA CCAGACTTGC CCTCCAATTG  
 258 MT-461\_887 TATTGGAGCT GGAATTACCG CGGCTGCTGG CACCAGACTT GCCCTCCAAT TGATACTTTA  
 259 MT-461\_887 ATACGCTATT GGAGCTGGAA TTACCGCGG TGCTGGCACC AGACTTGCCC TCCAATTGAT  
 260 MT-461\_888 TATACGCTAT TGGAGCTGGA ATTACCGCGG CTGCCTGCAC CAGACTGCC CTCCAATTGA  
 261 MT-461\_888 AATATACGCT ATTGGAGCTG GAATTACCGC GGCTGCTGGC ACCAGACTTG CCCTCCAATT  
 262 MT-461\_888  
 263

